

1/38

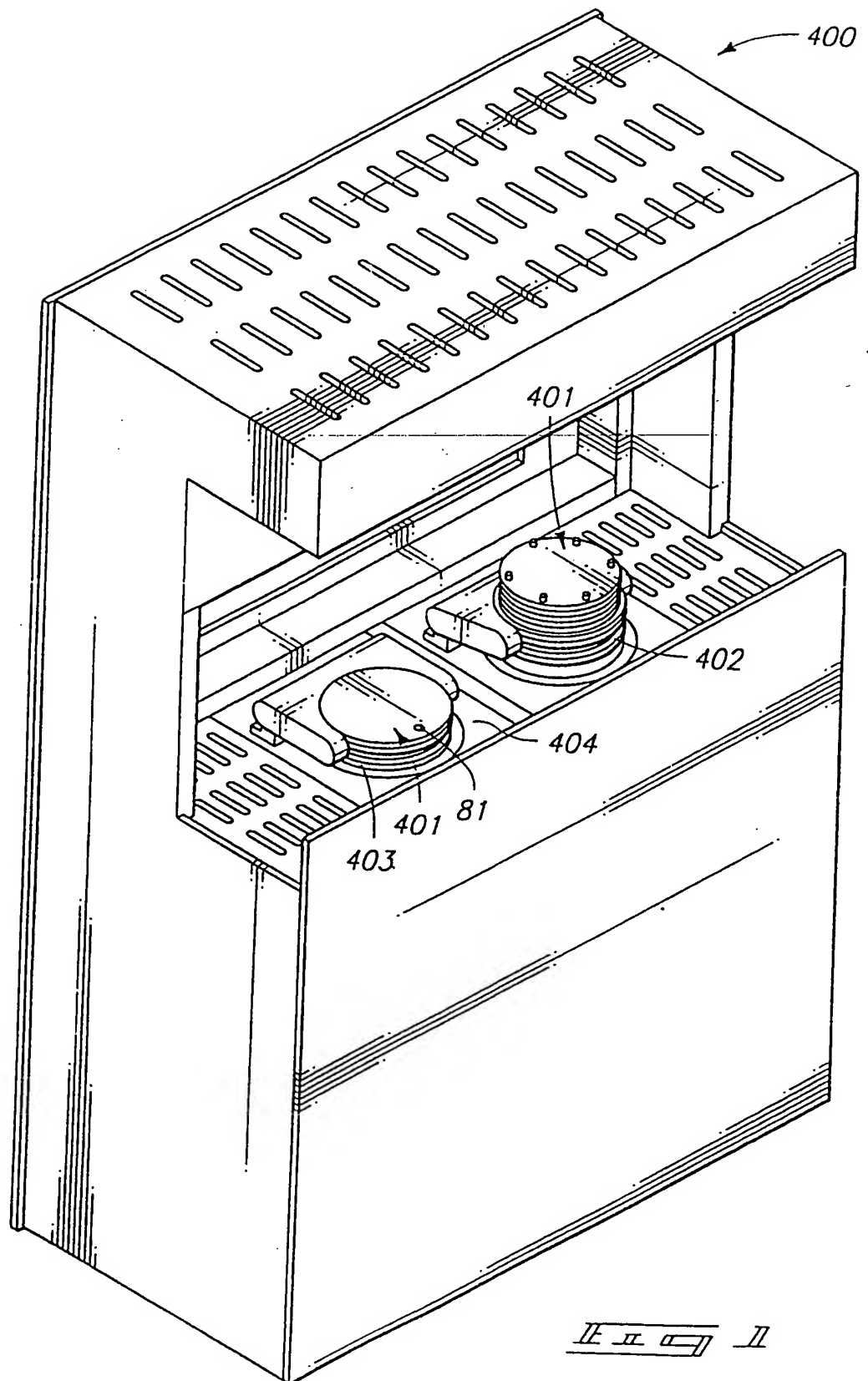
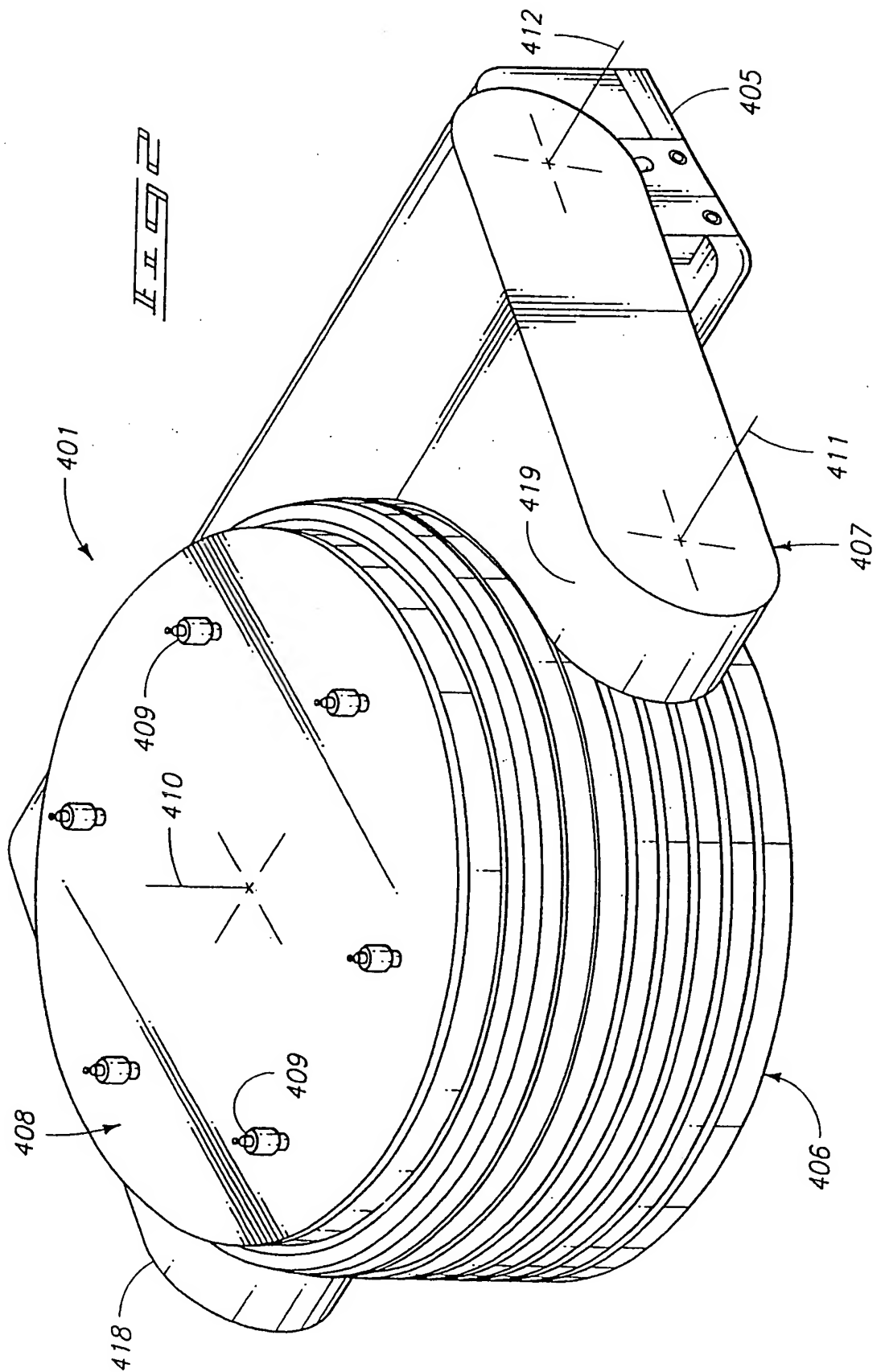
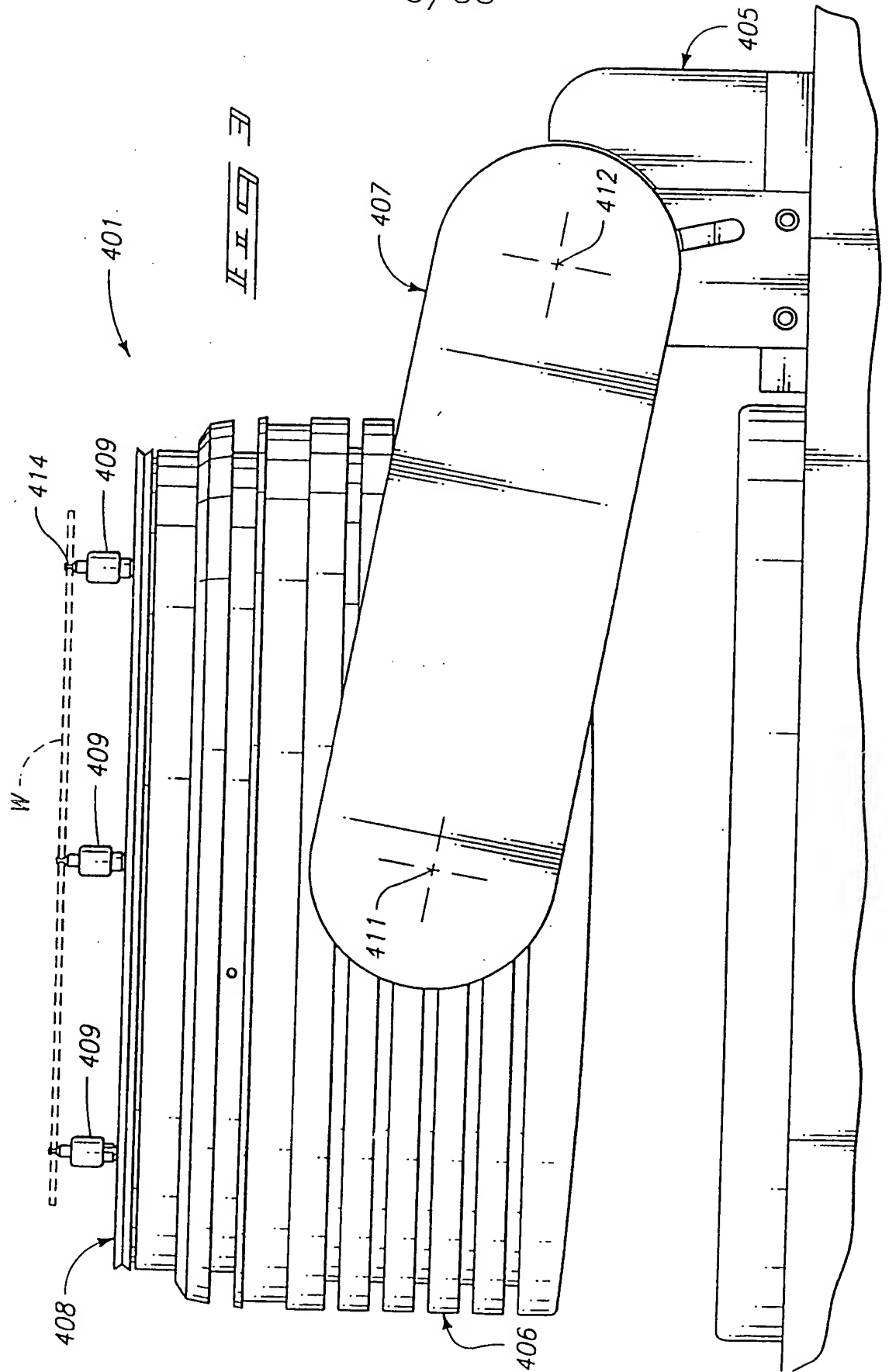
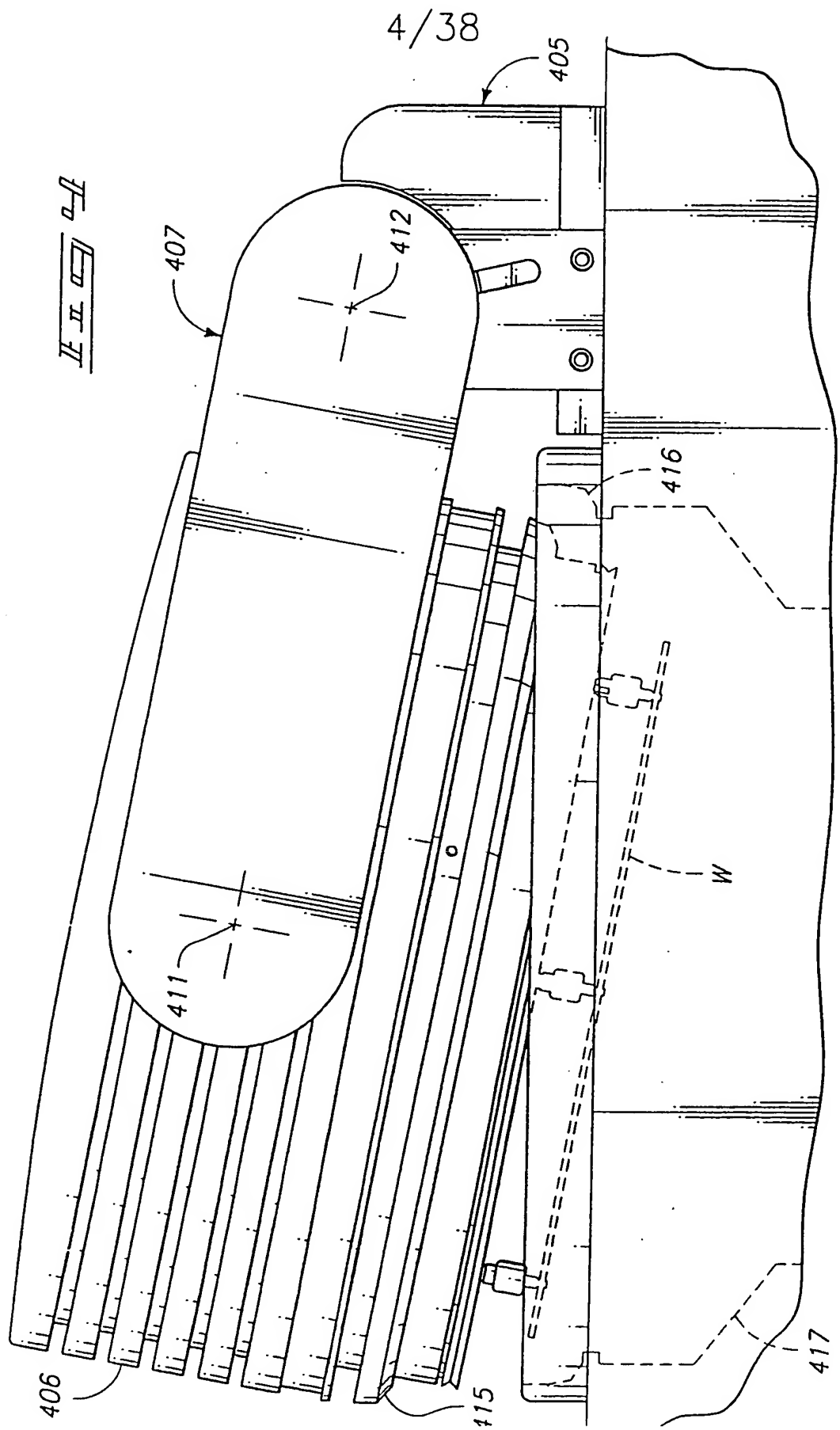


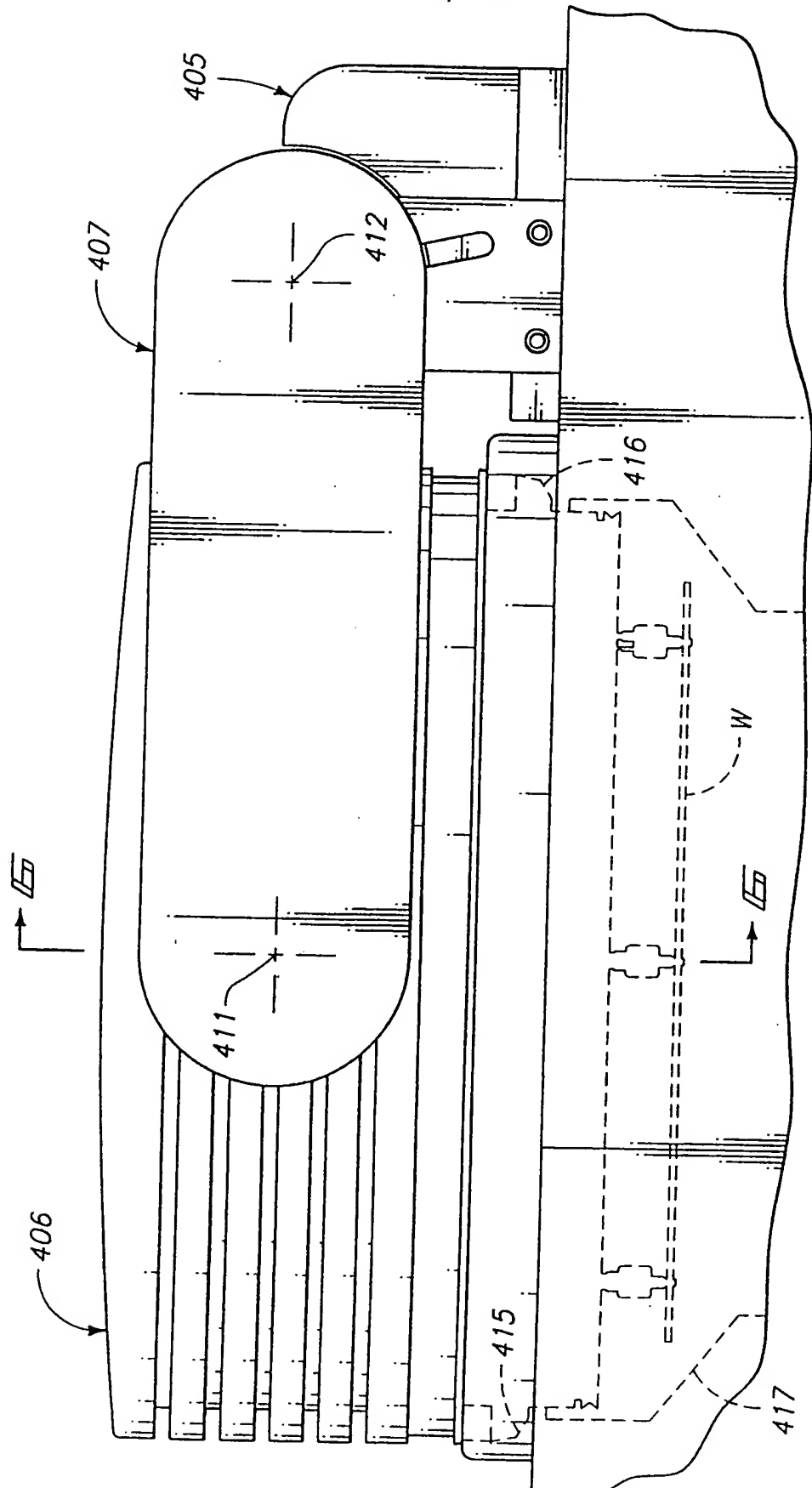
FIG. 11



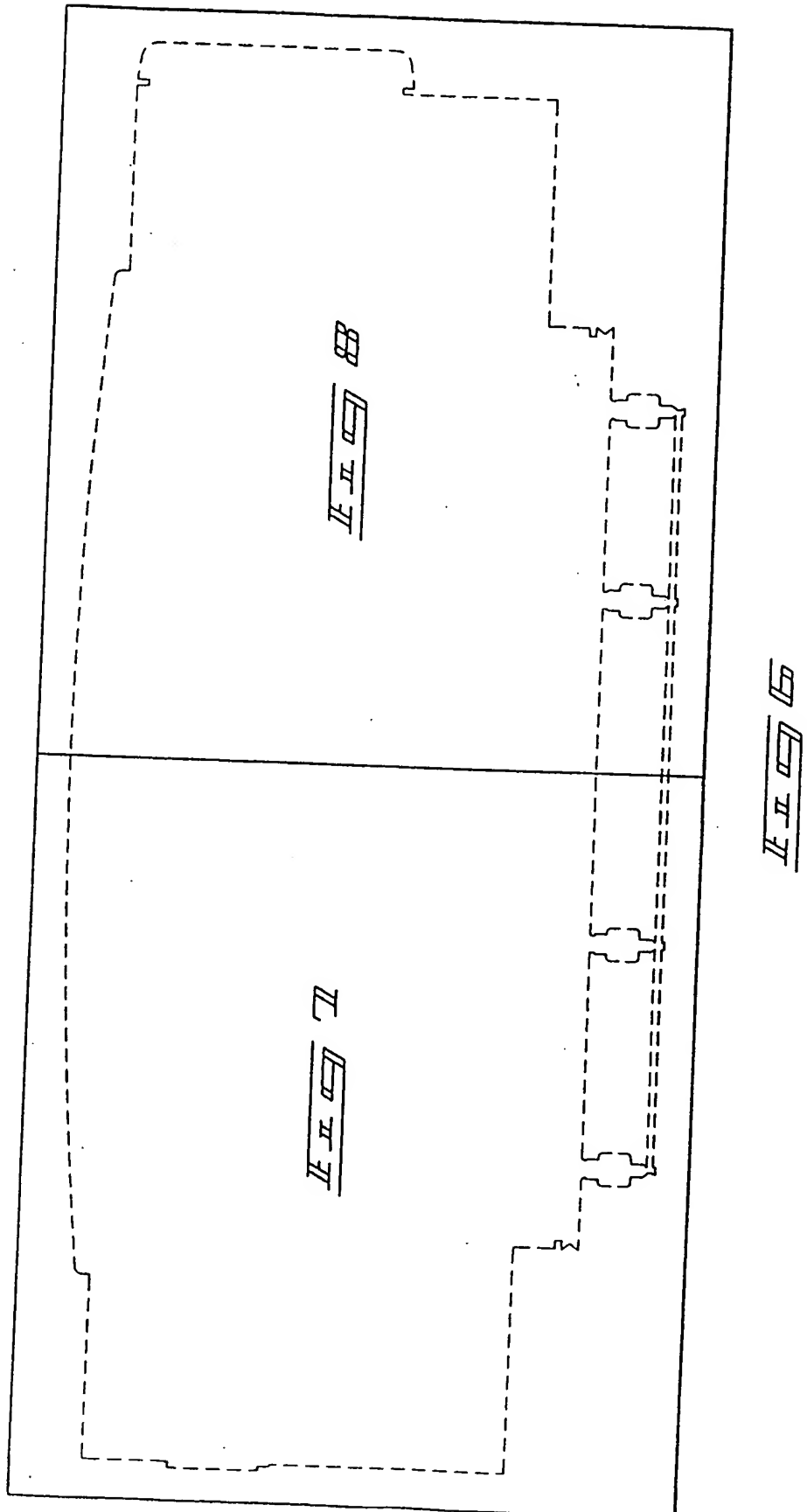


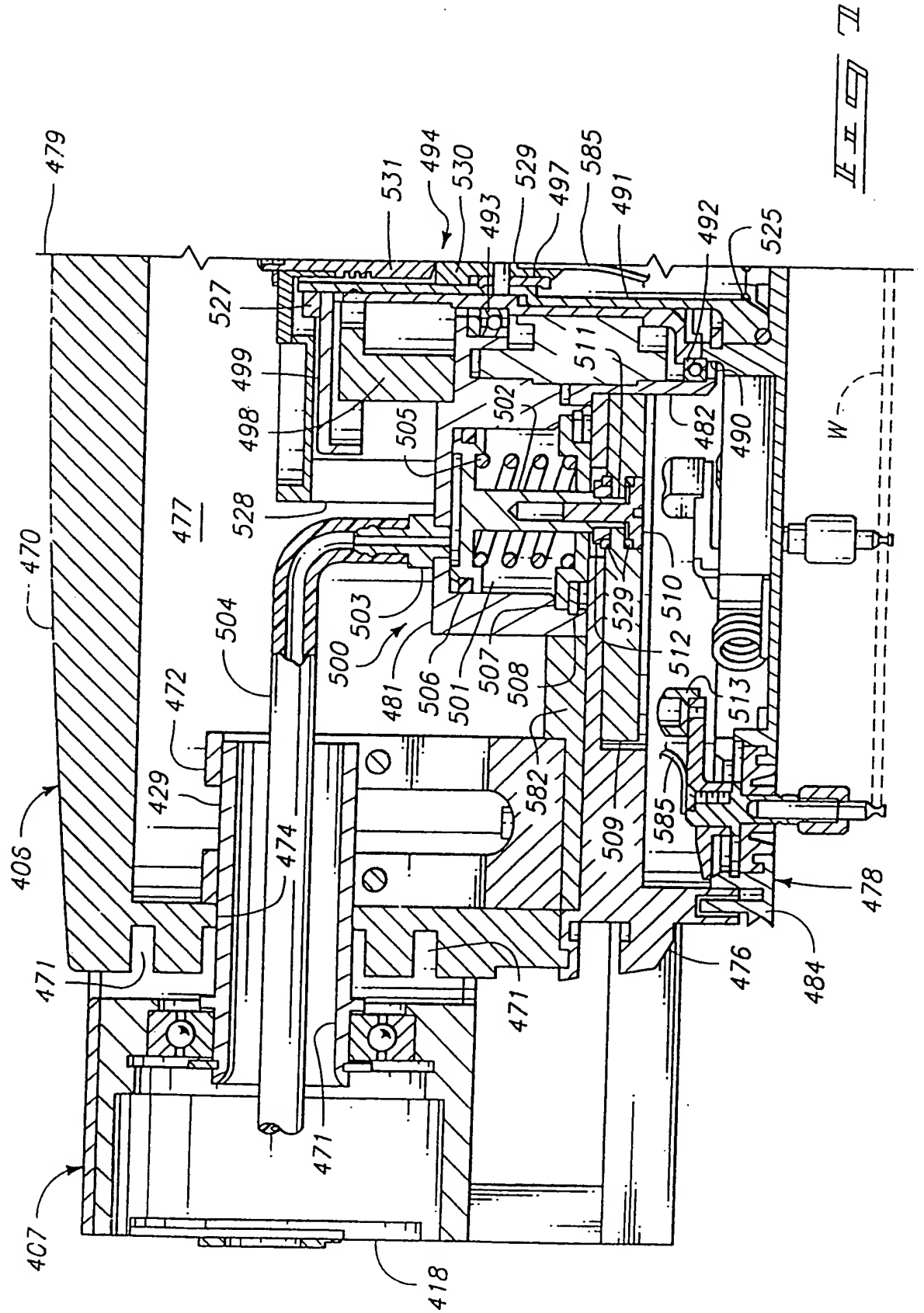


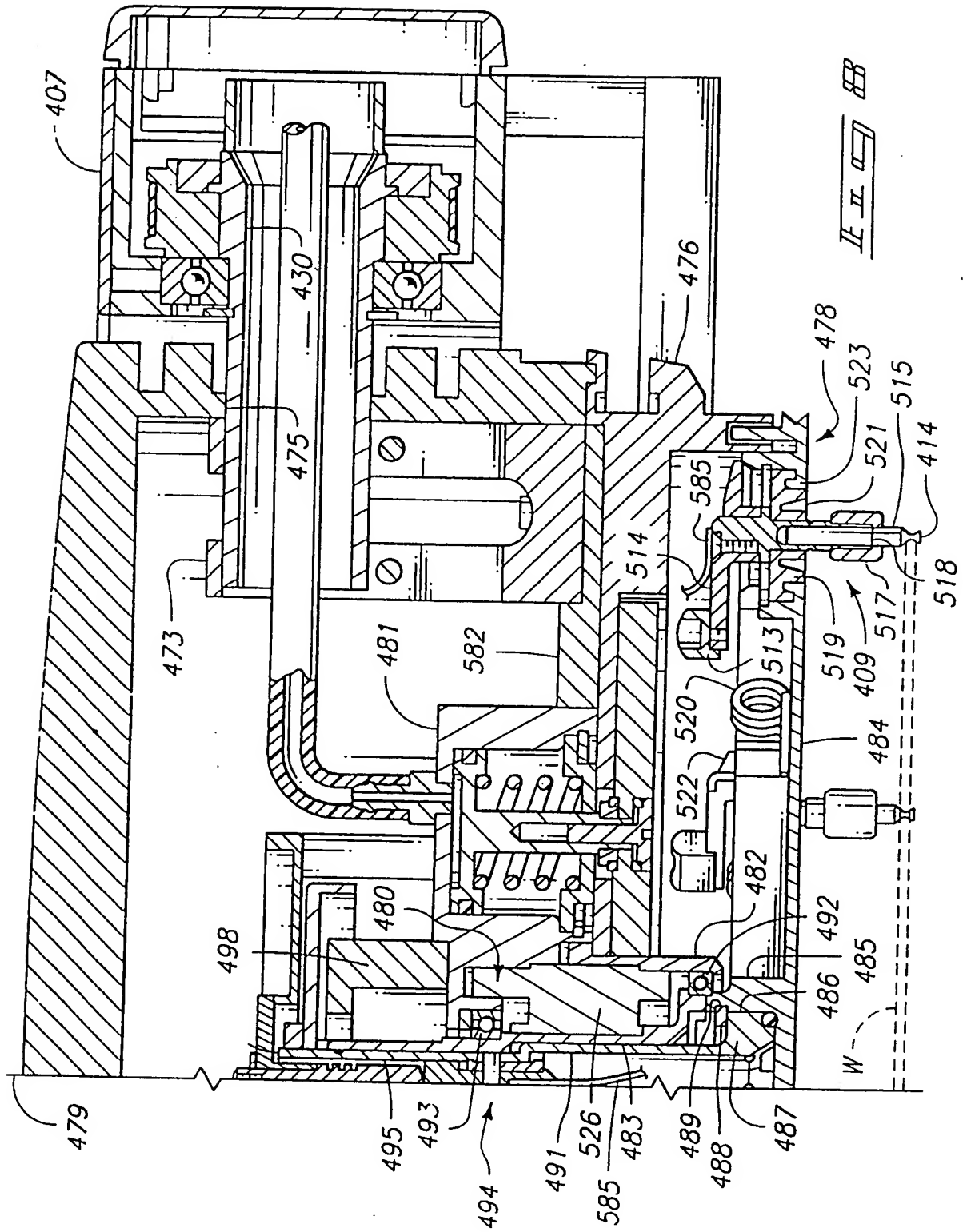
5/38



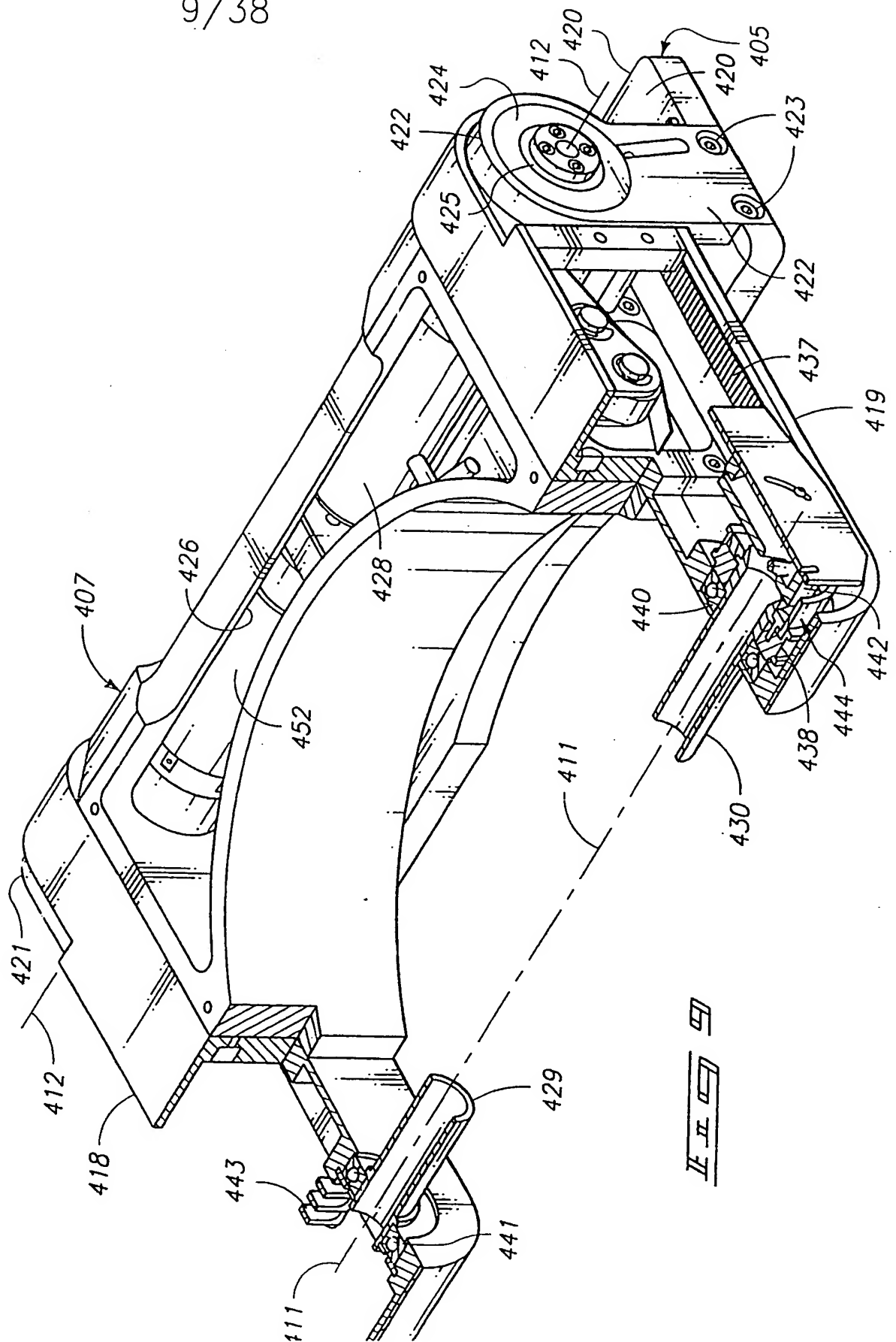
6/38











10/38

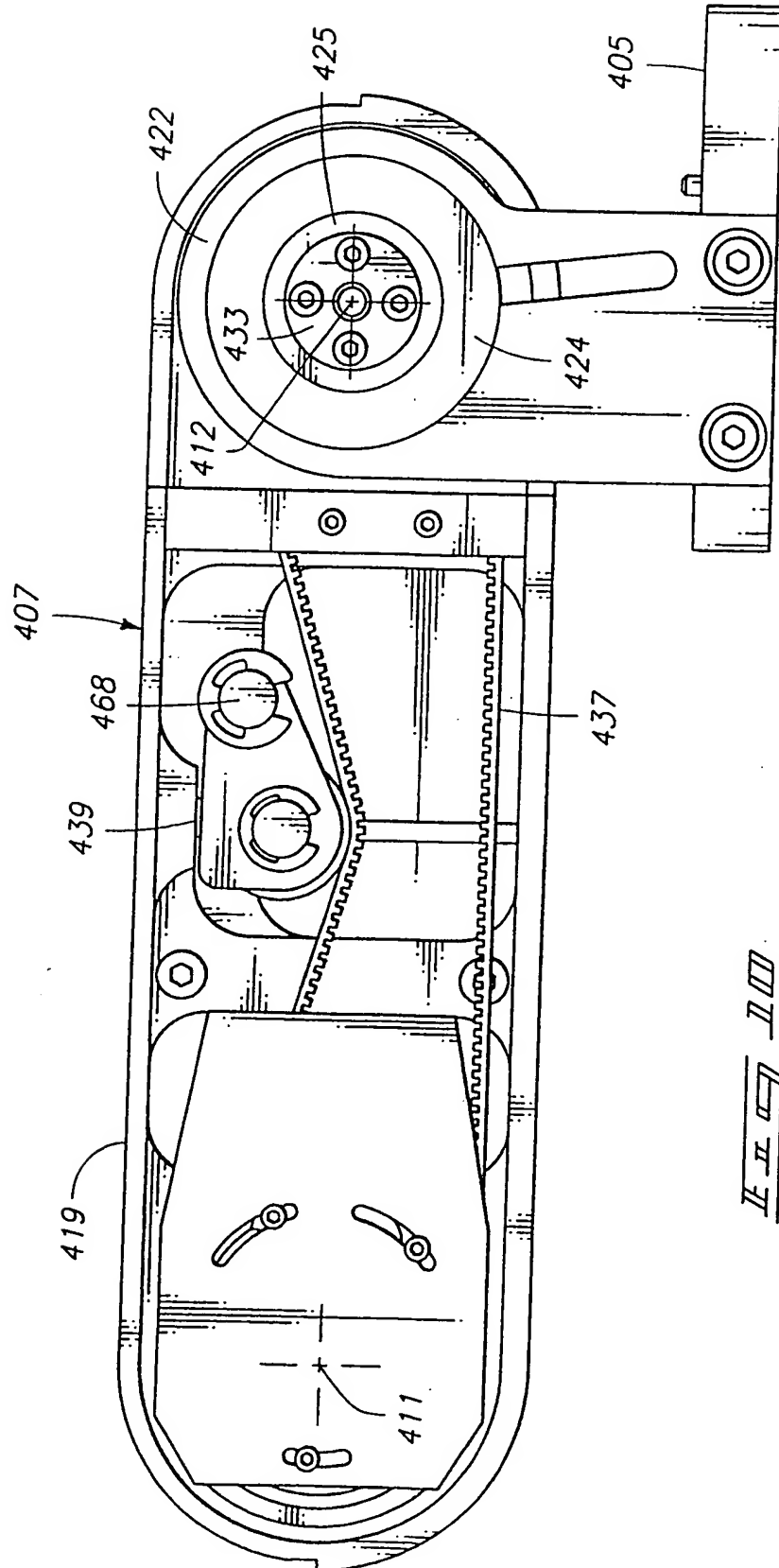


FIG. 10

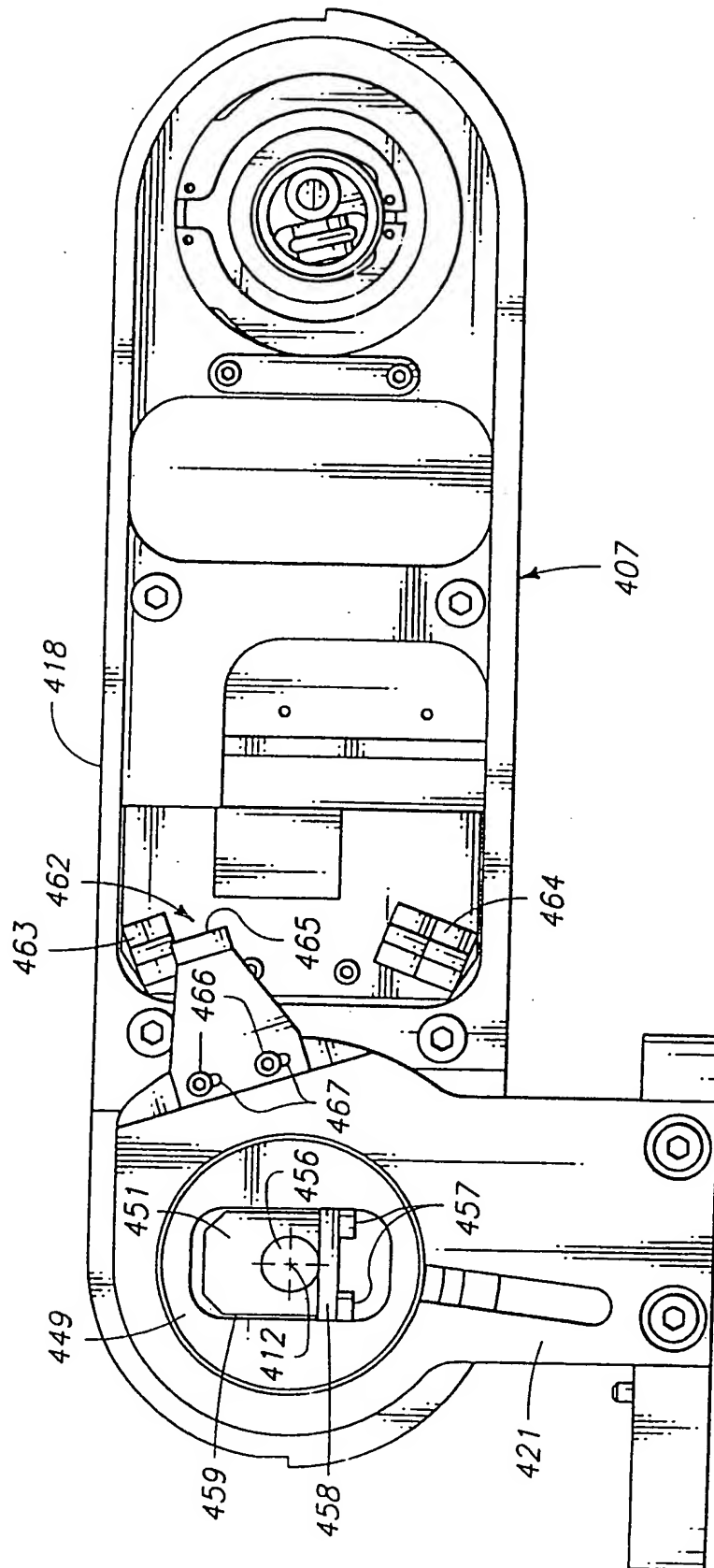
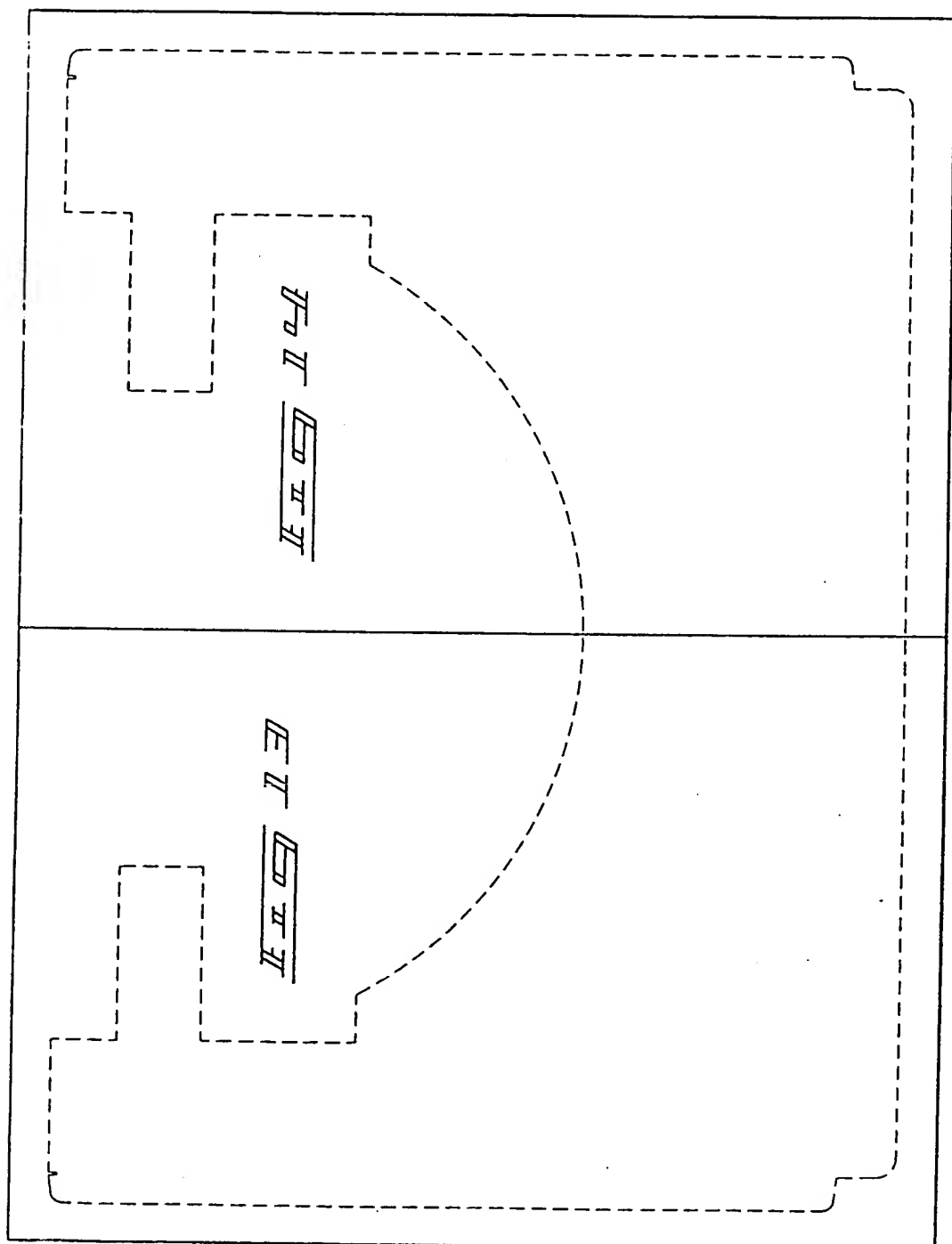
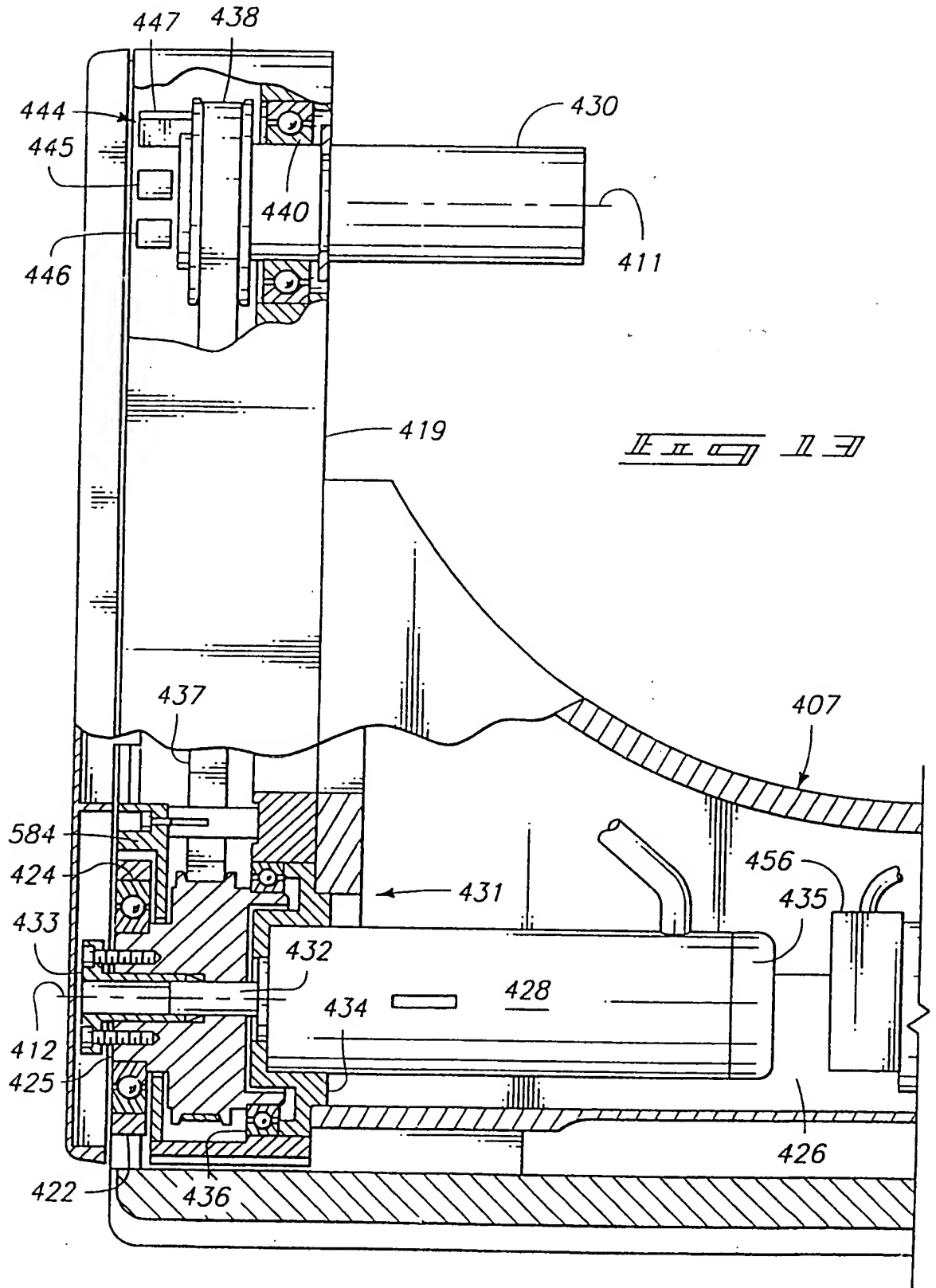


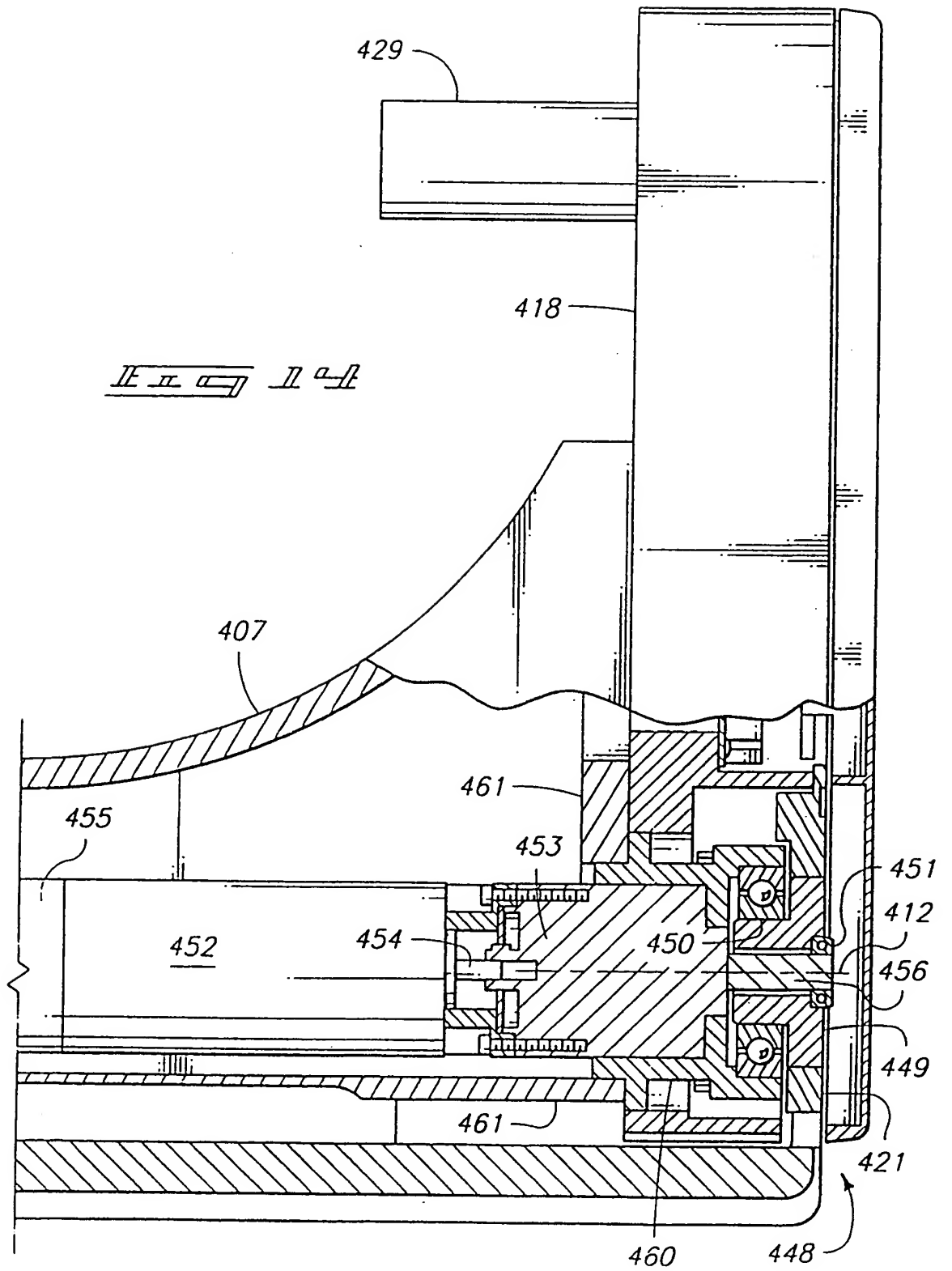
FIG. 11

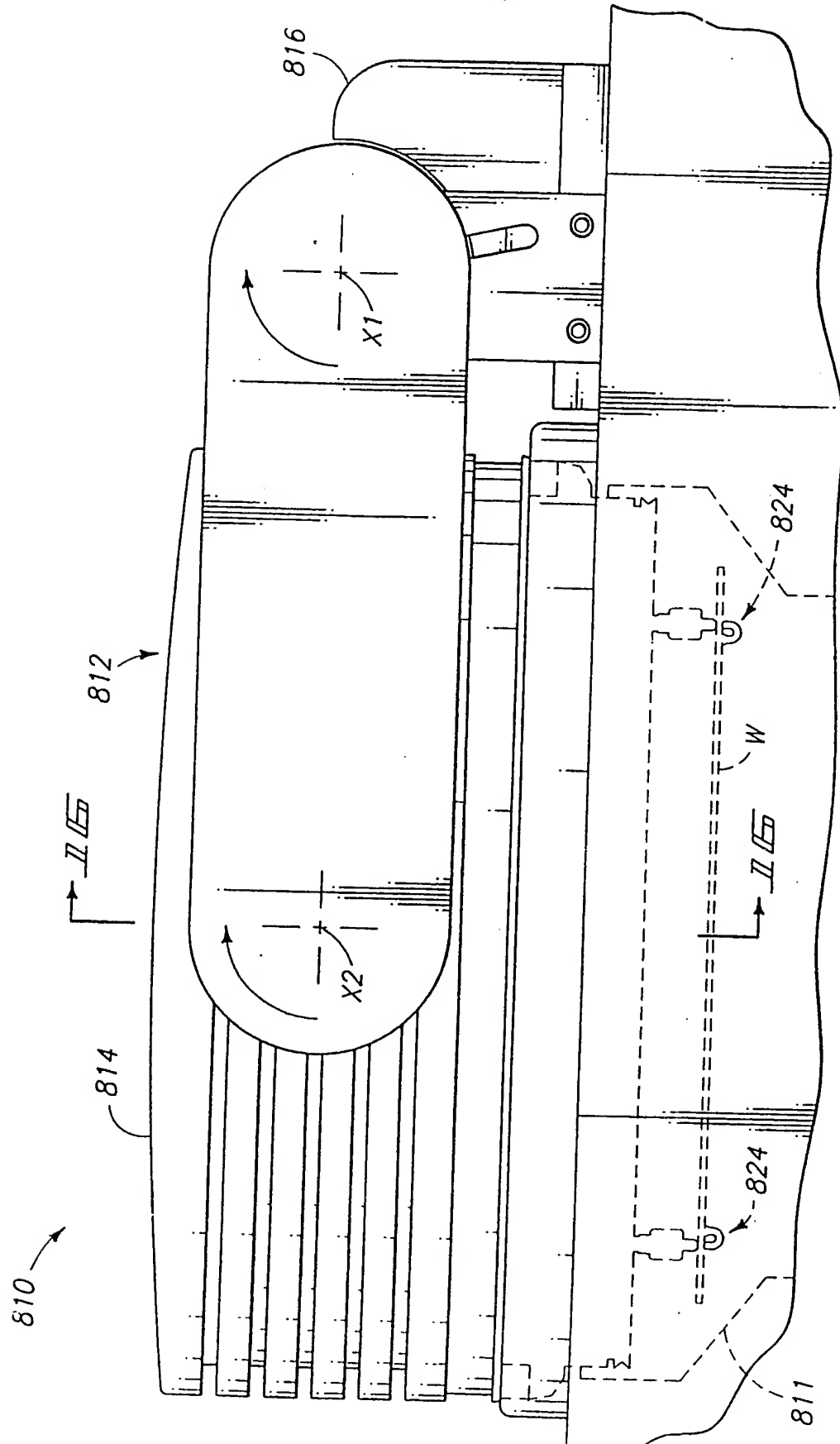
12/38



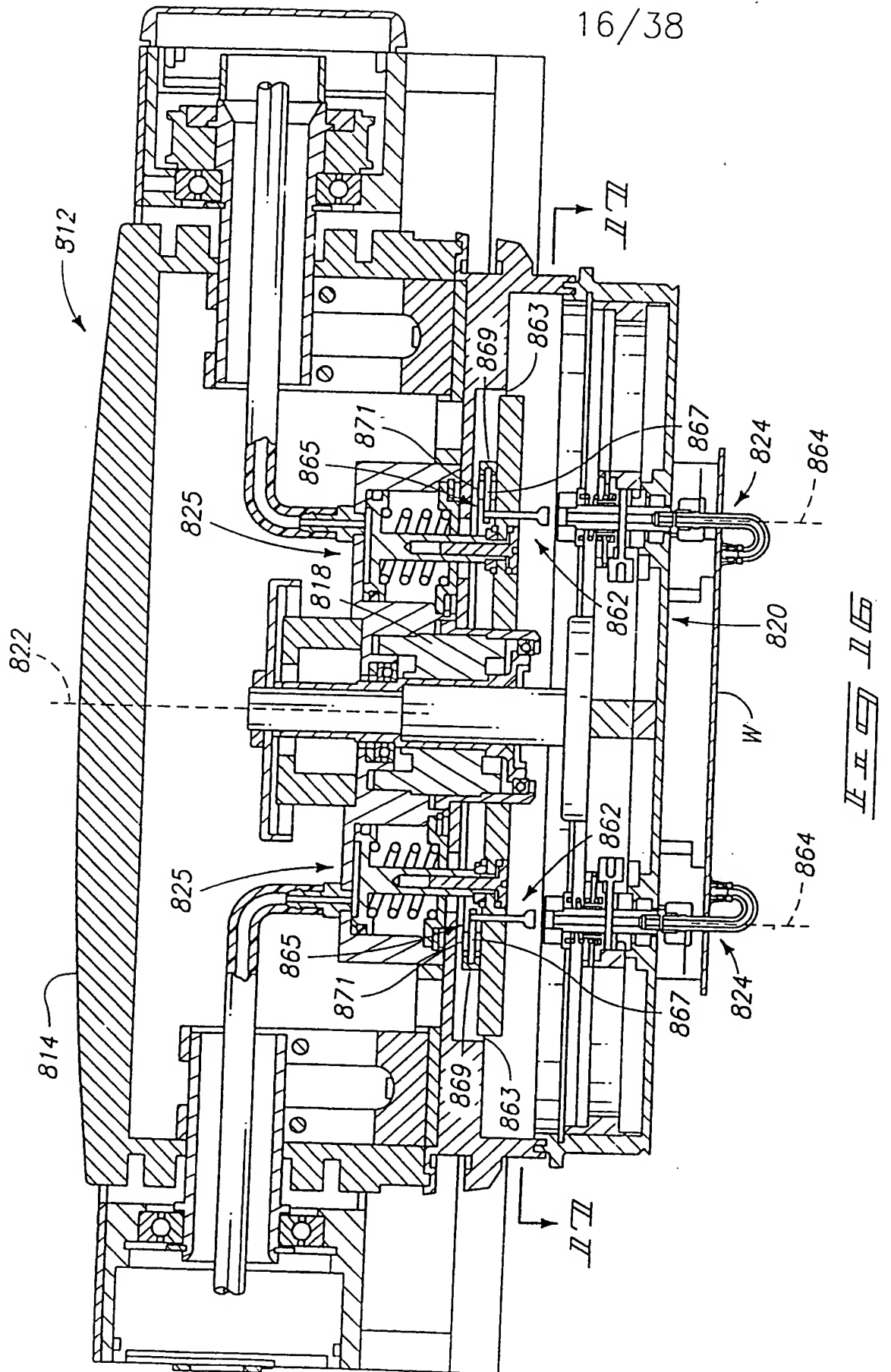
H0 II 60 II II







II II II





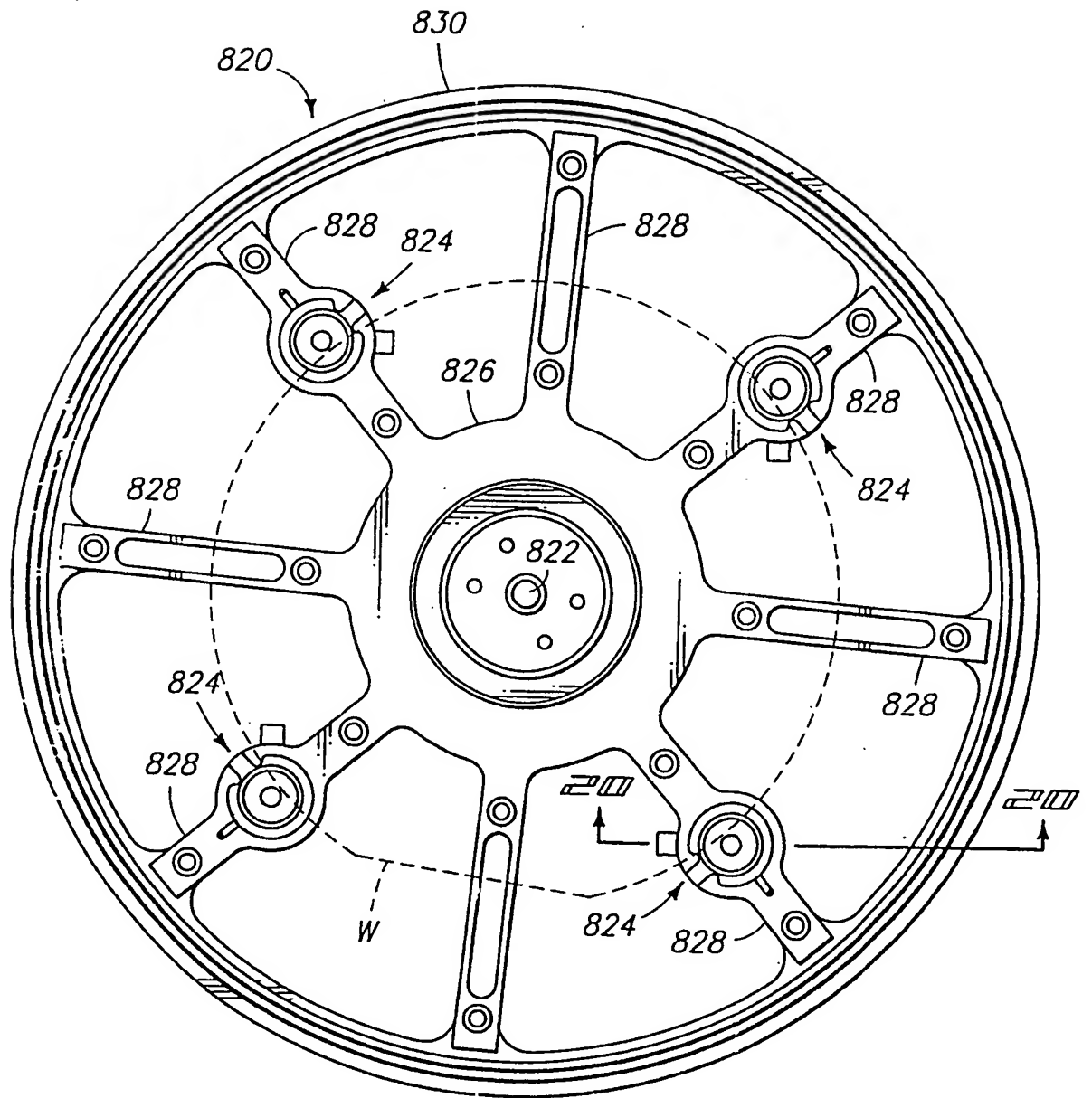
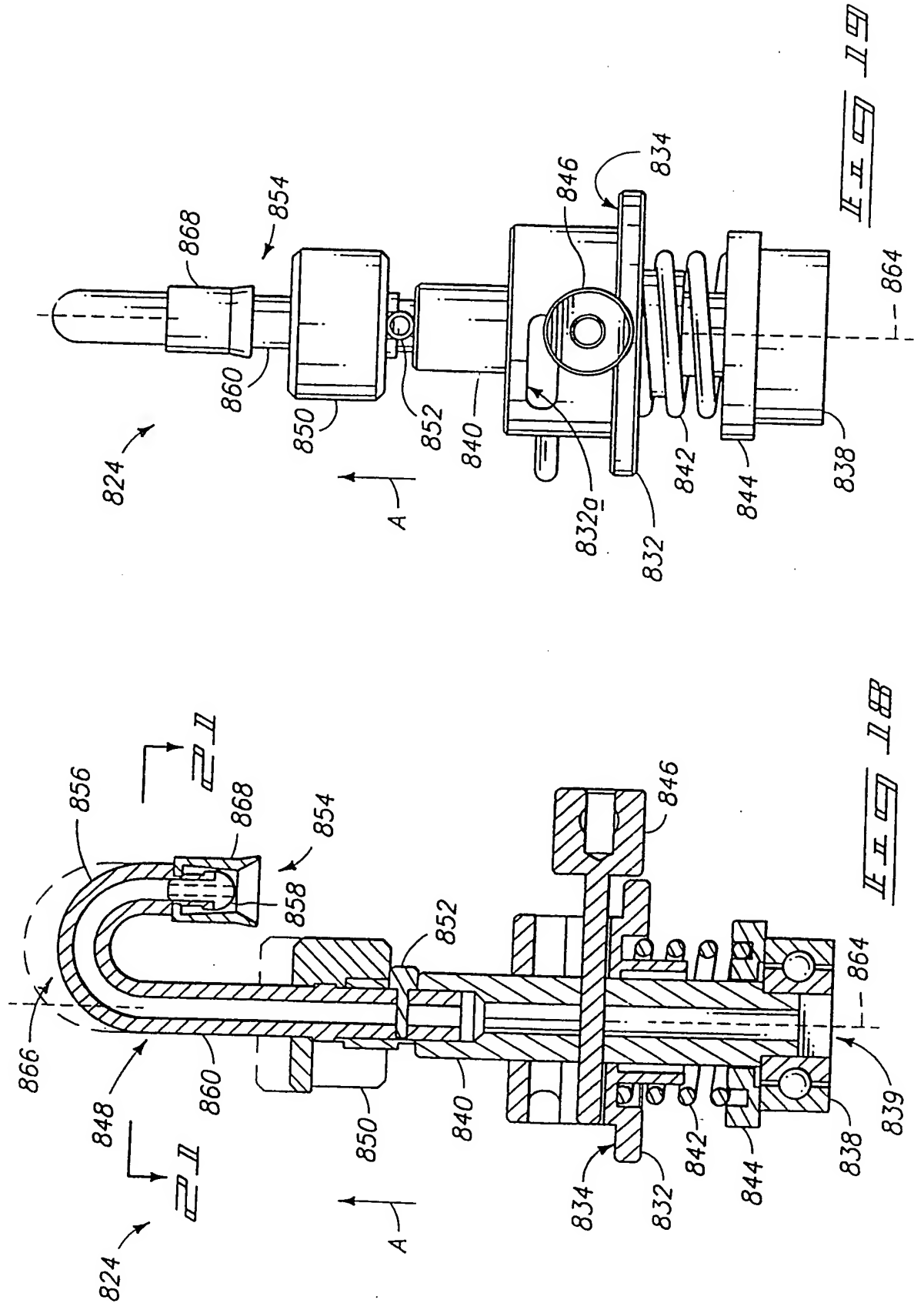
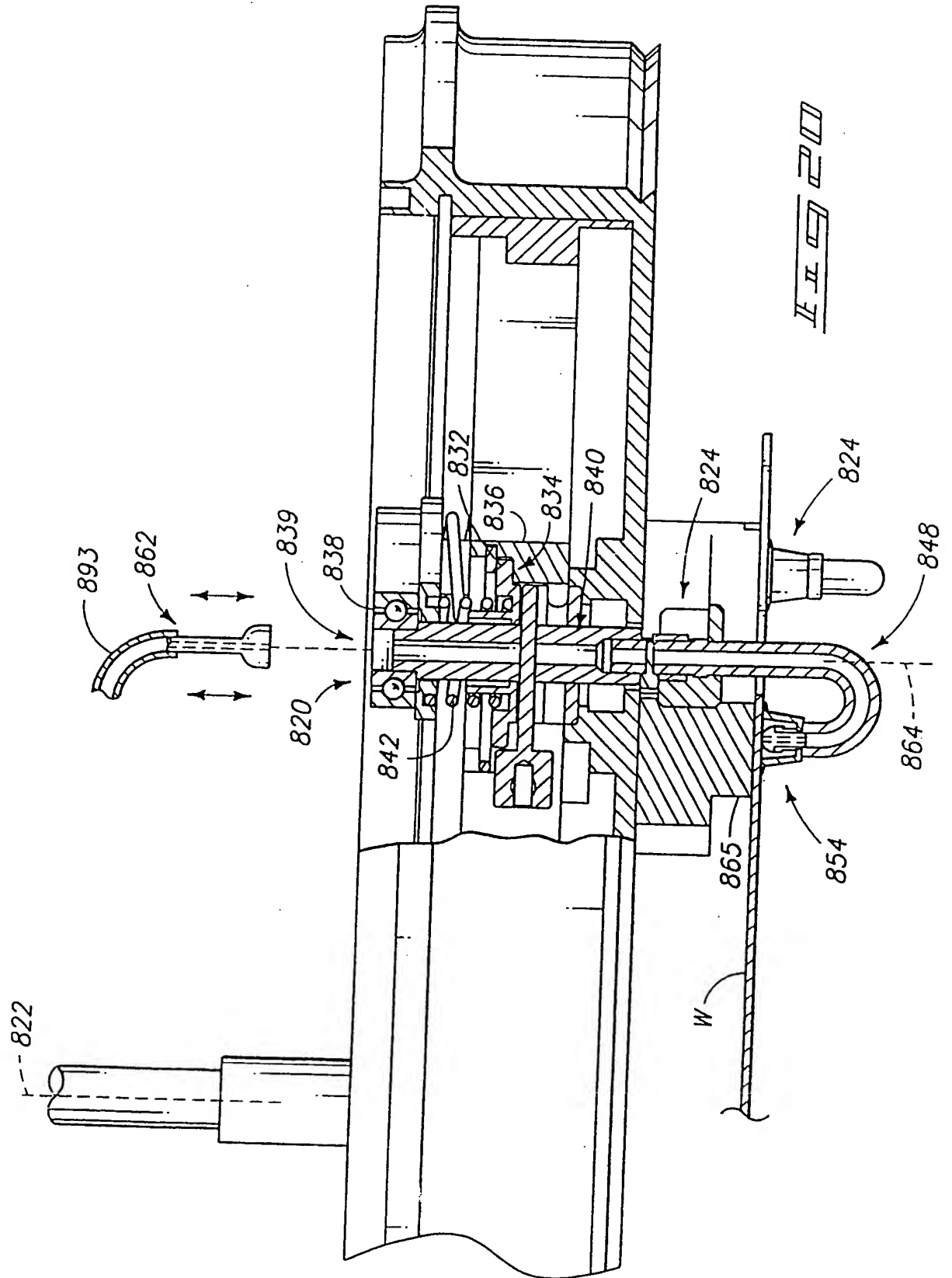


FIG 17





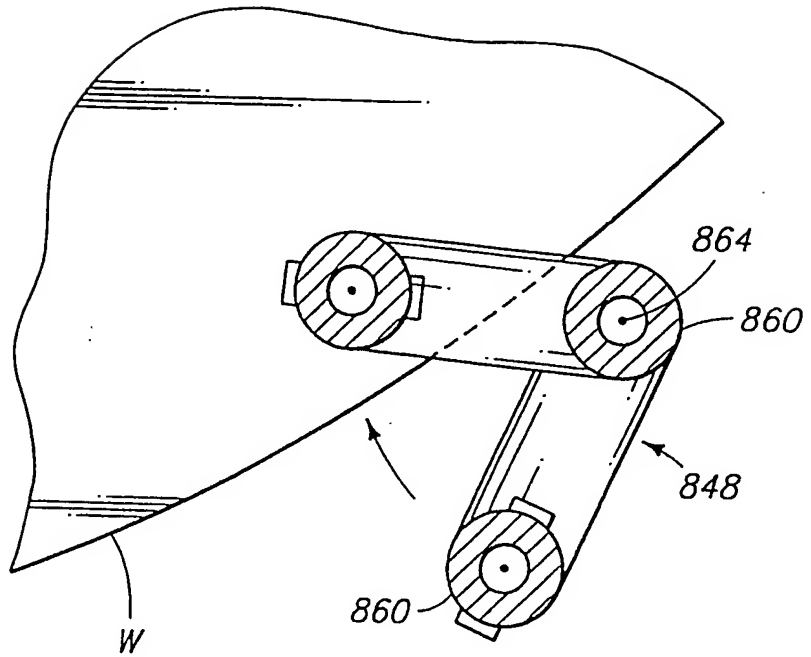


Fig. 22

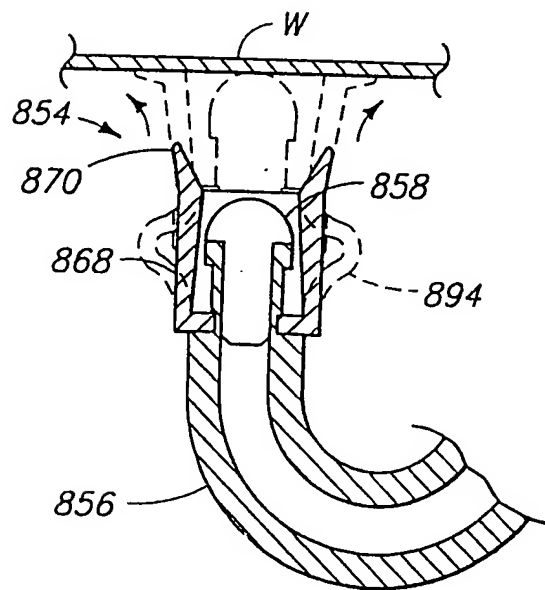
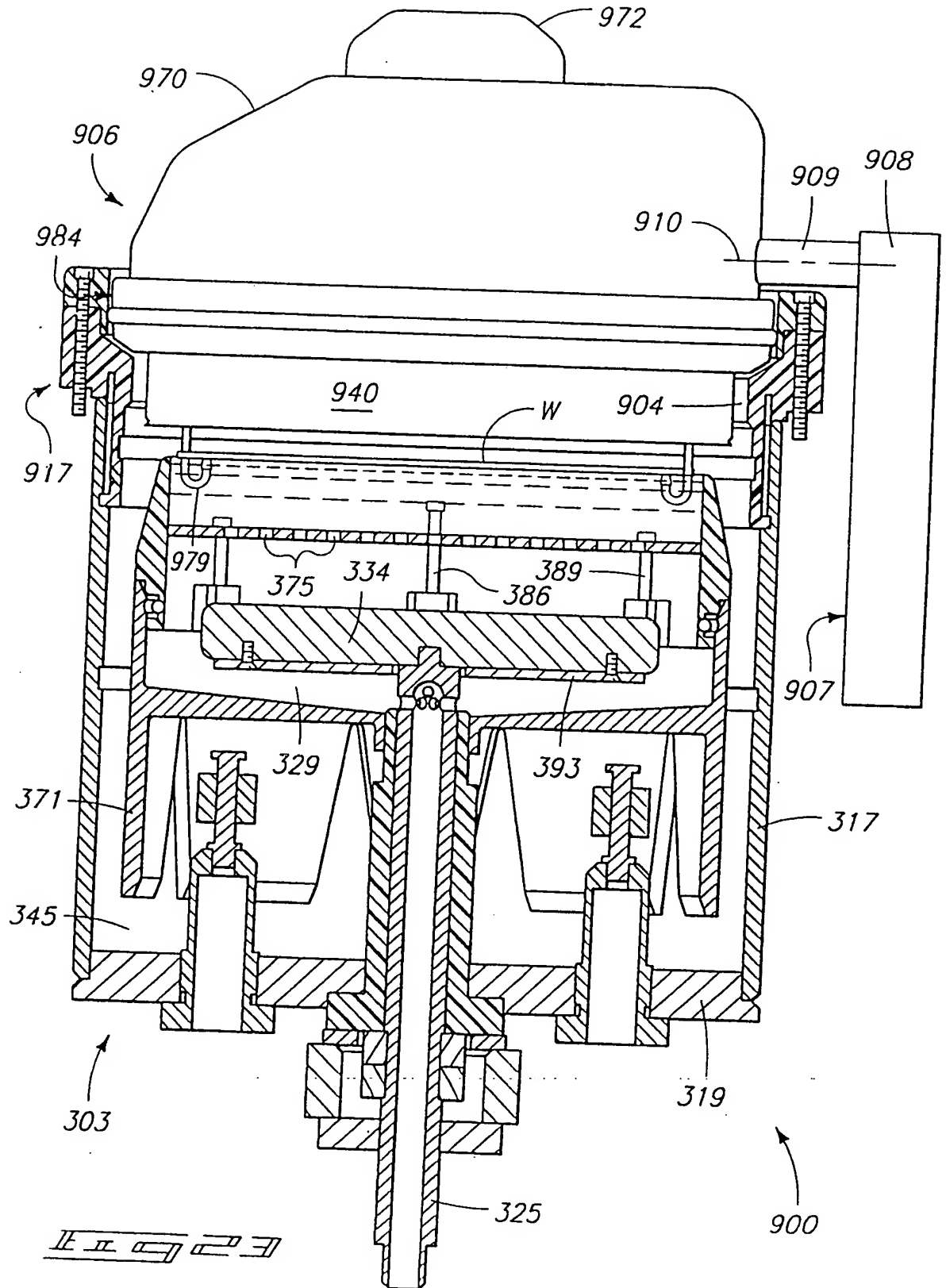
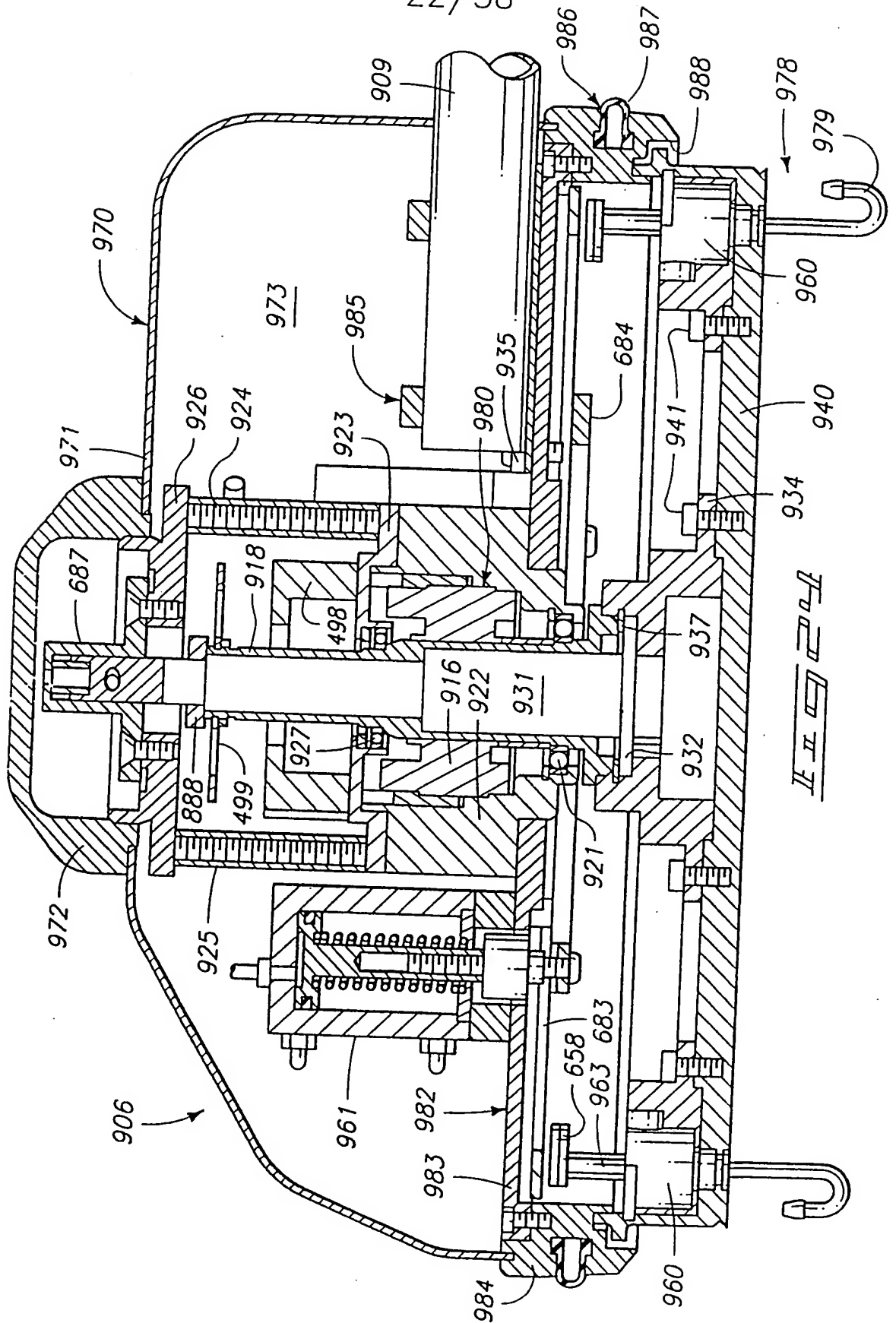
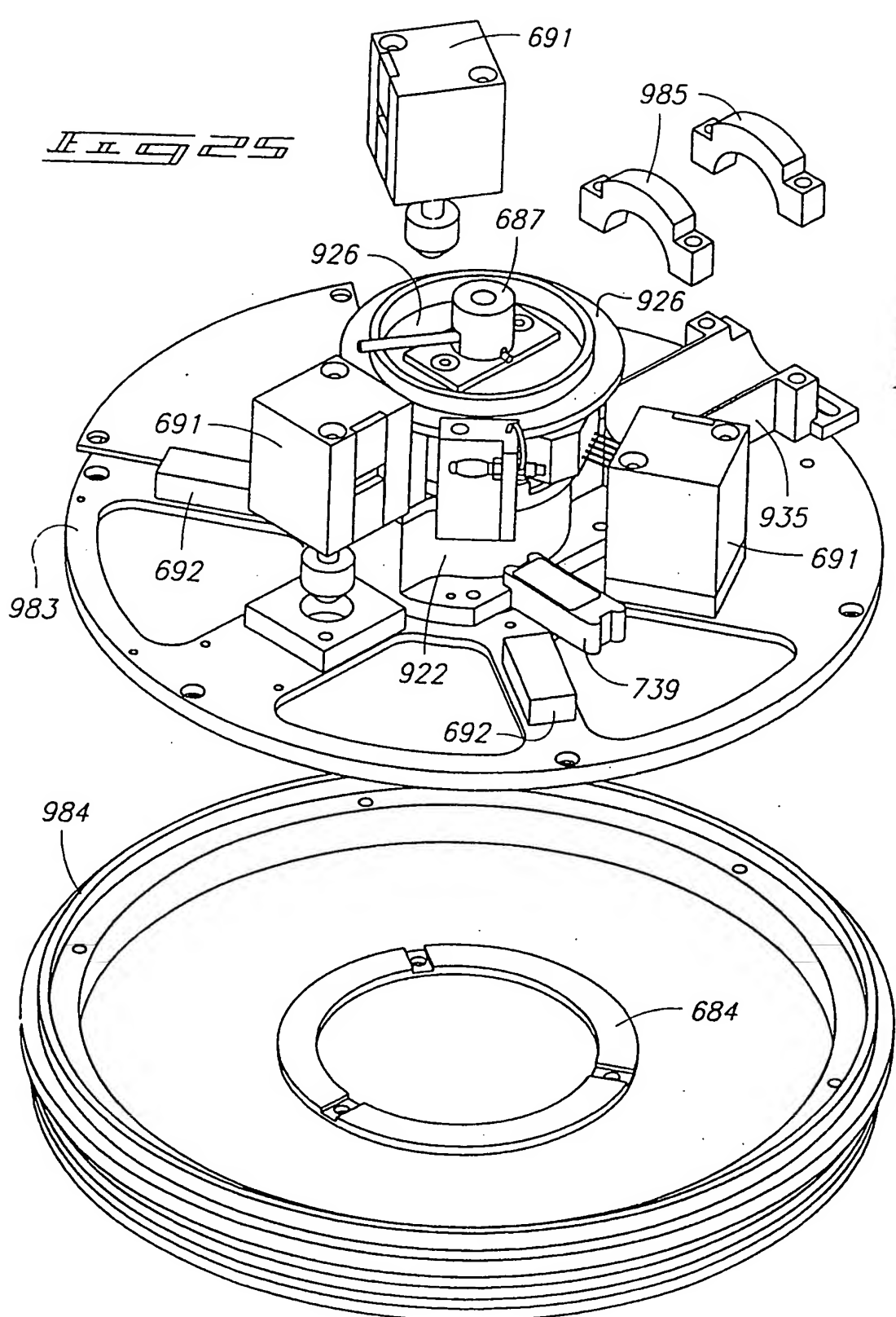


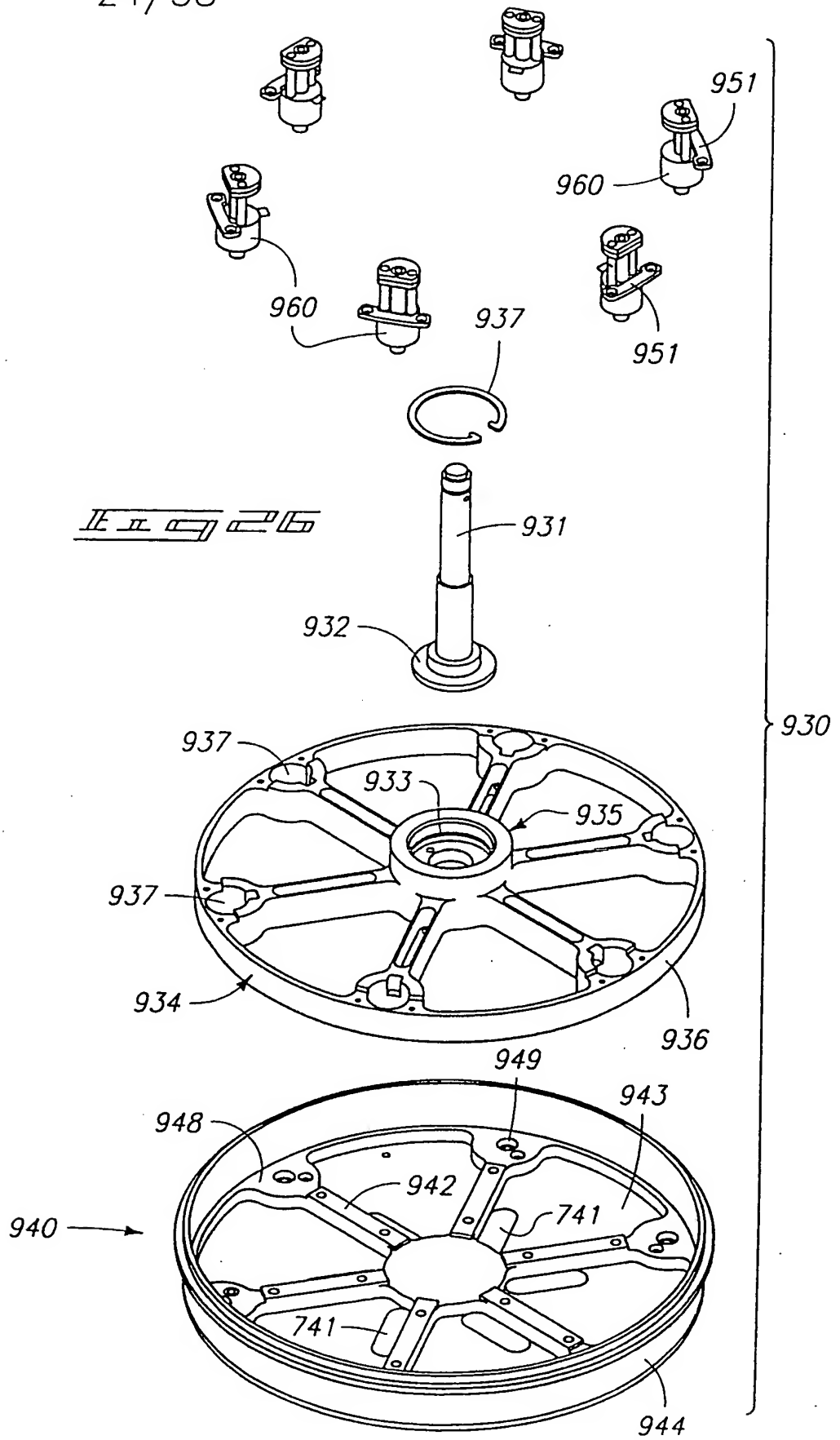
Fig. 23







24/38





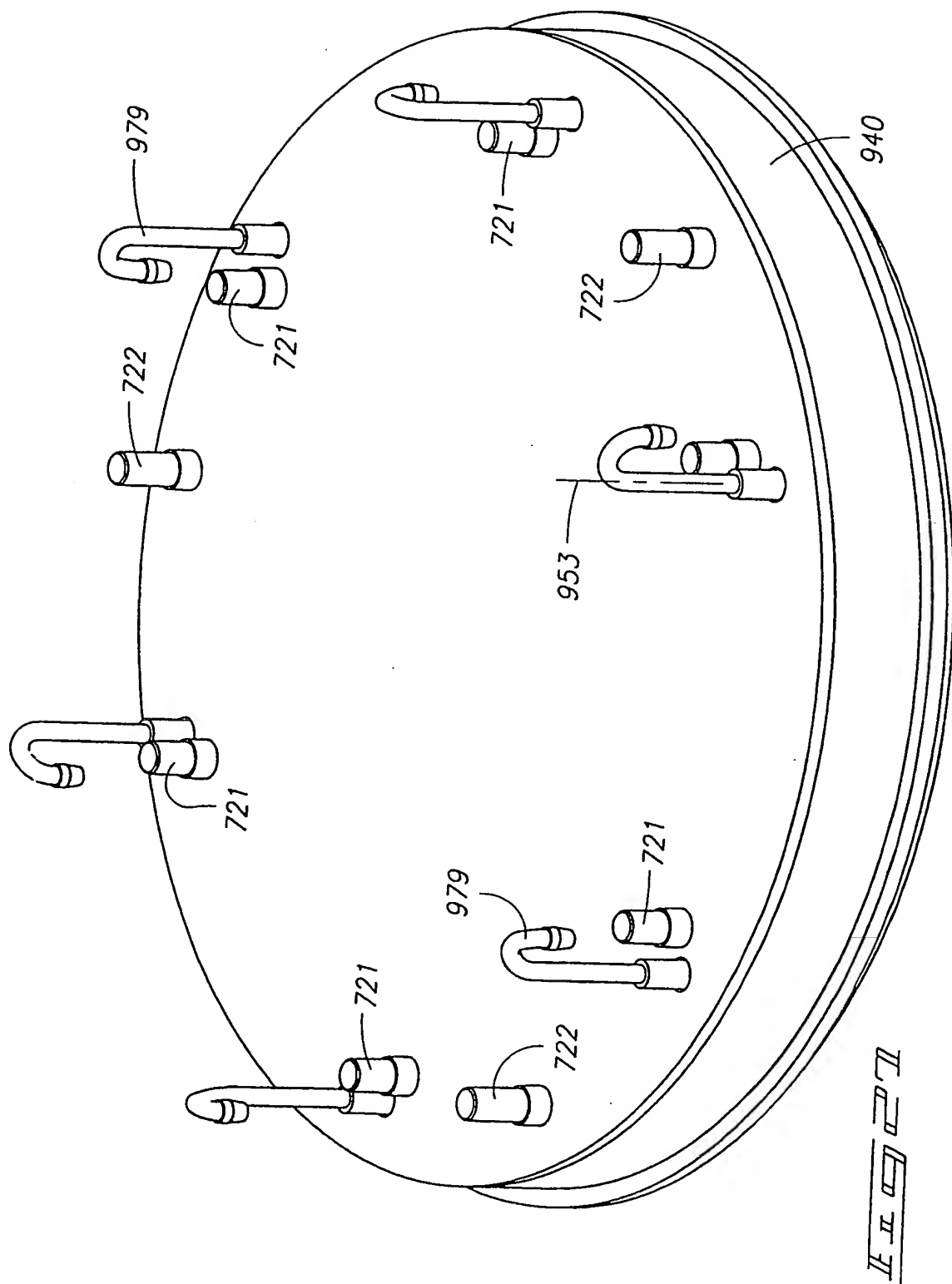
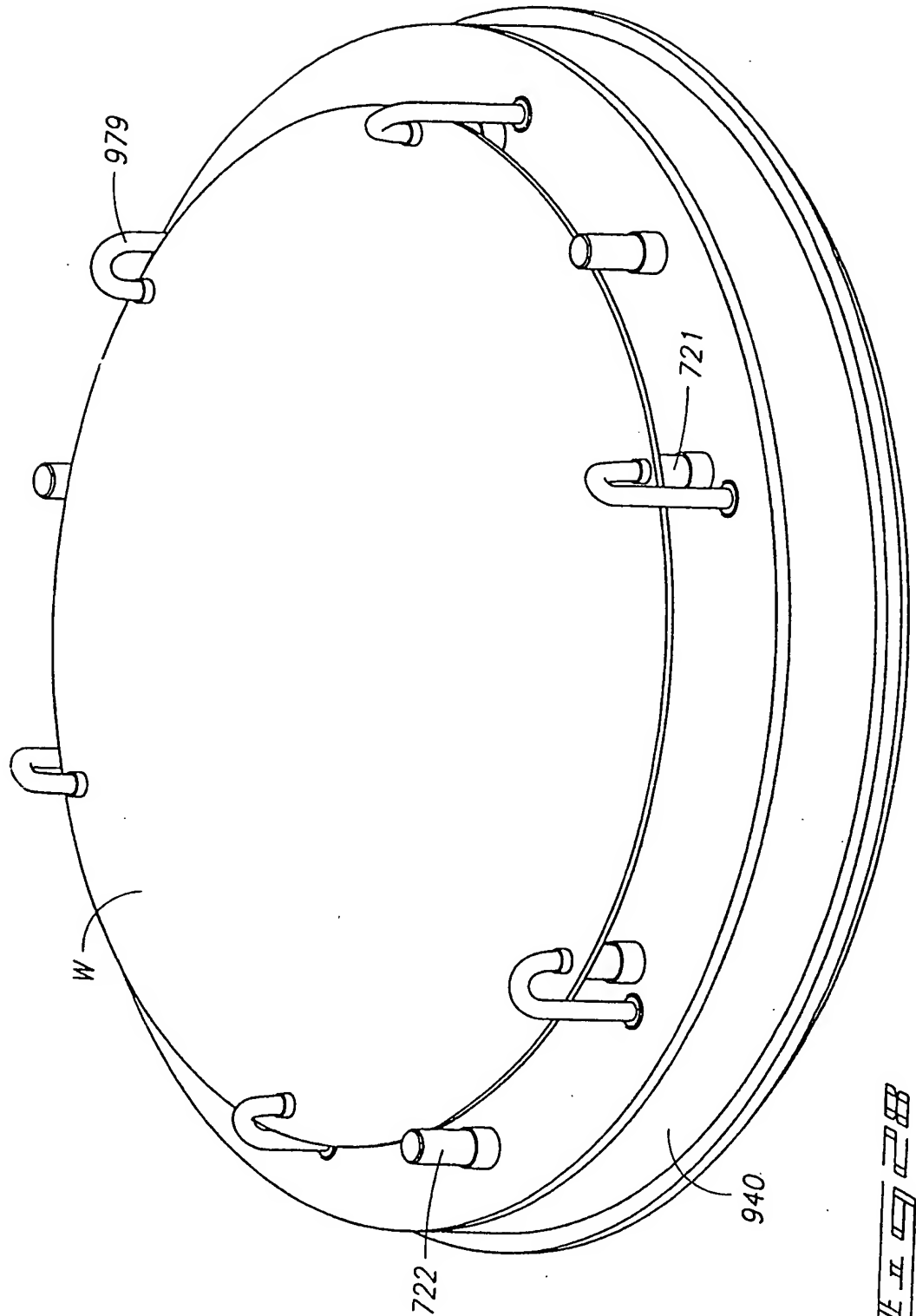


FIG. 25



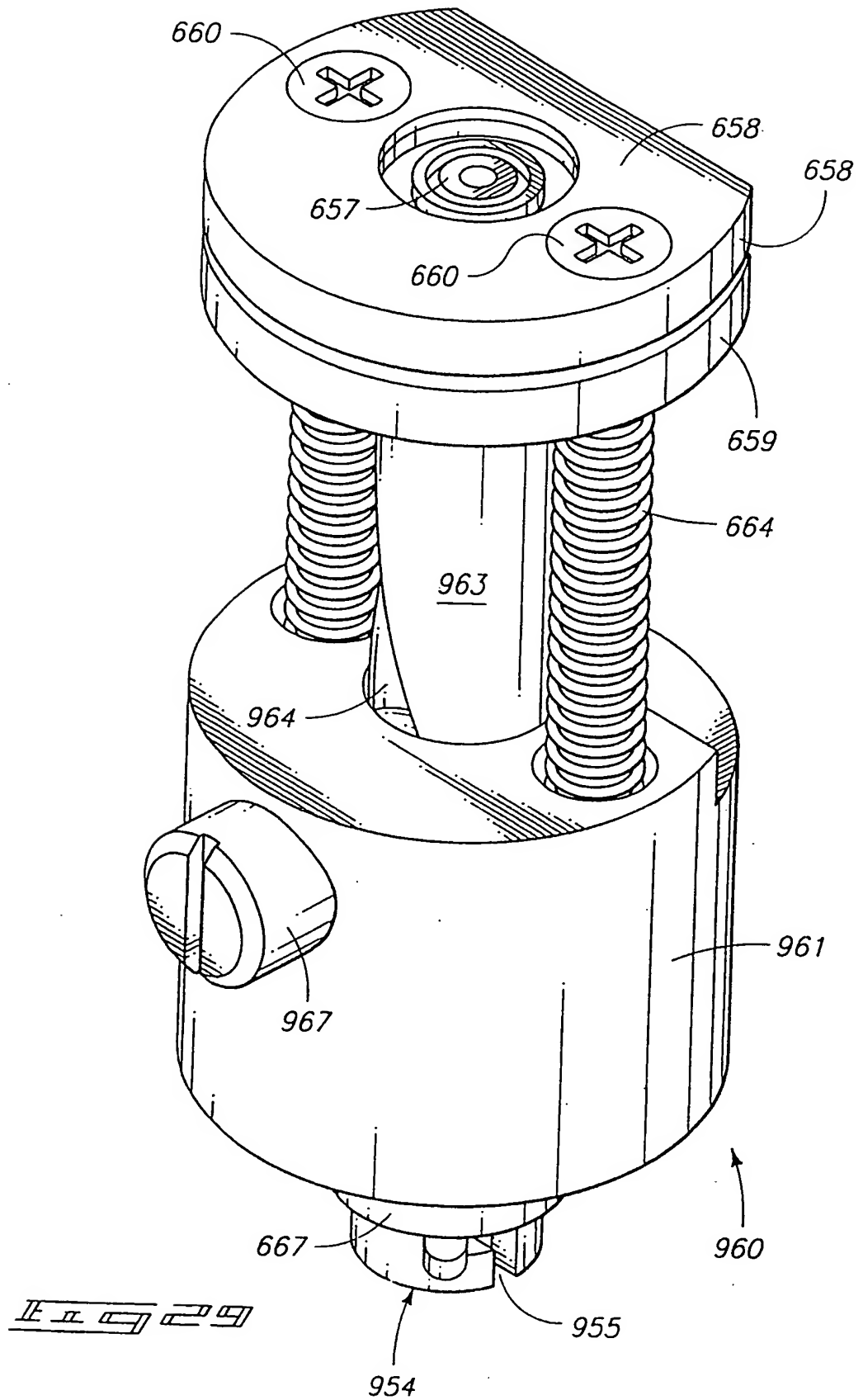
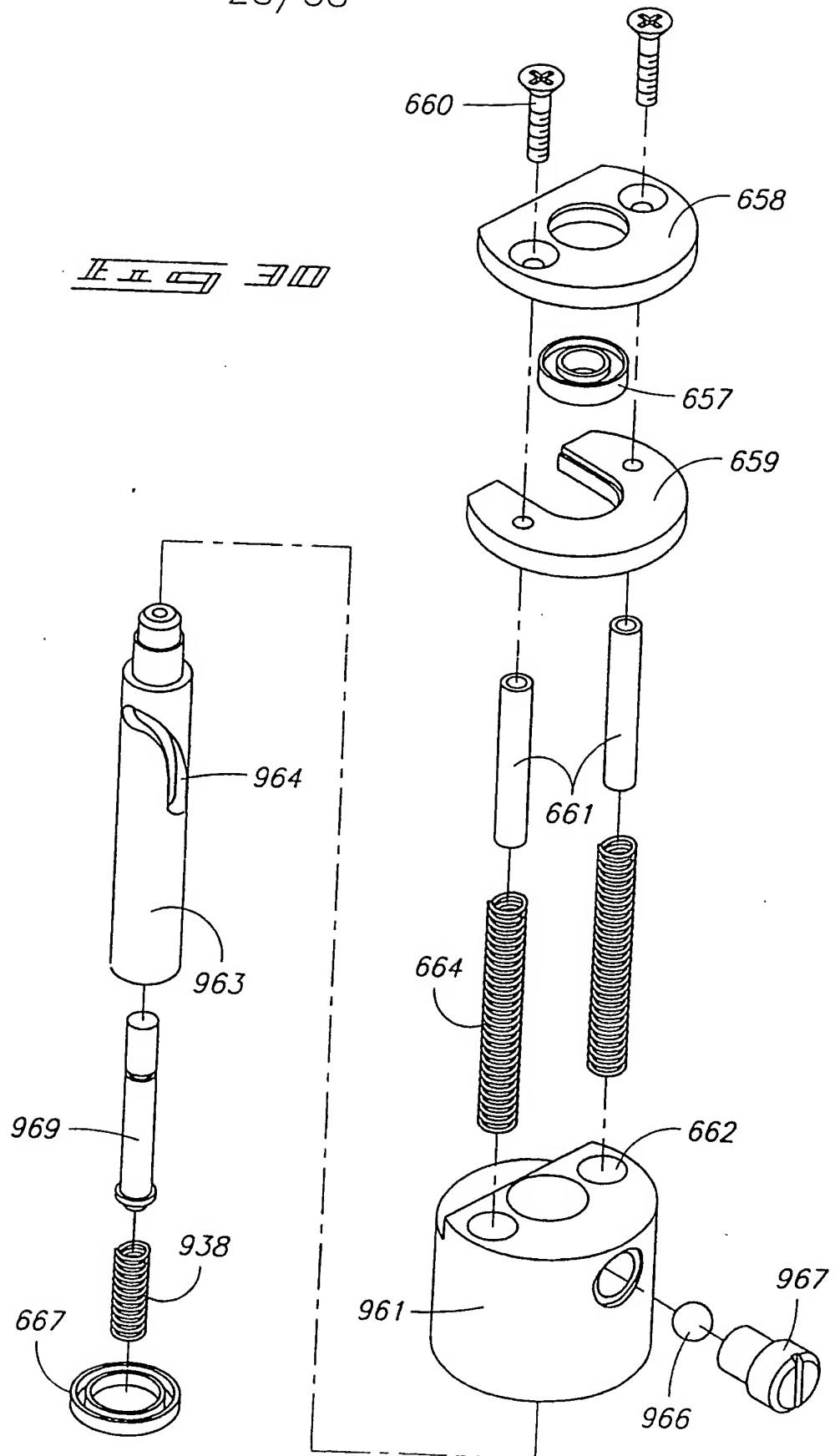
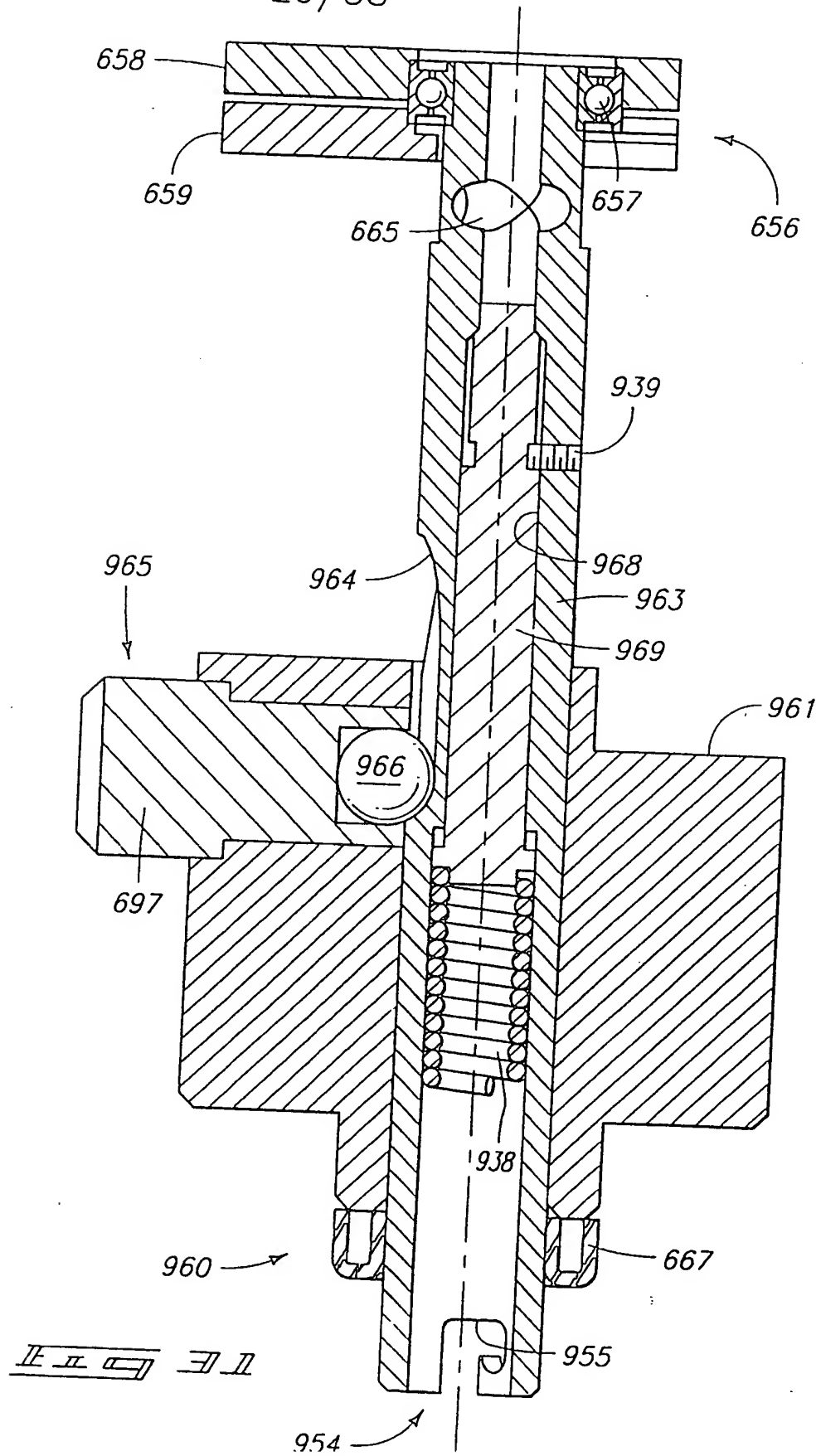
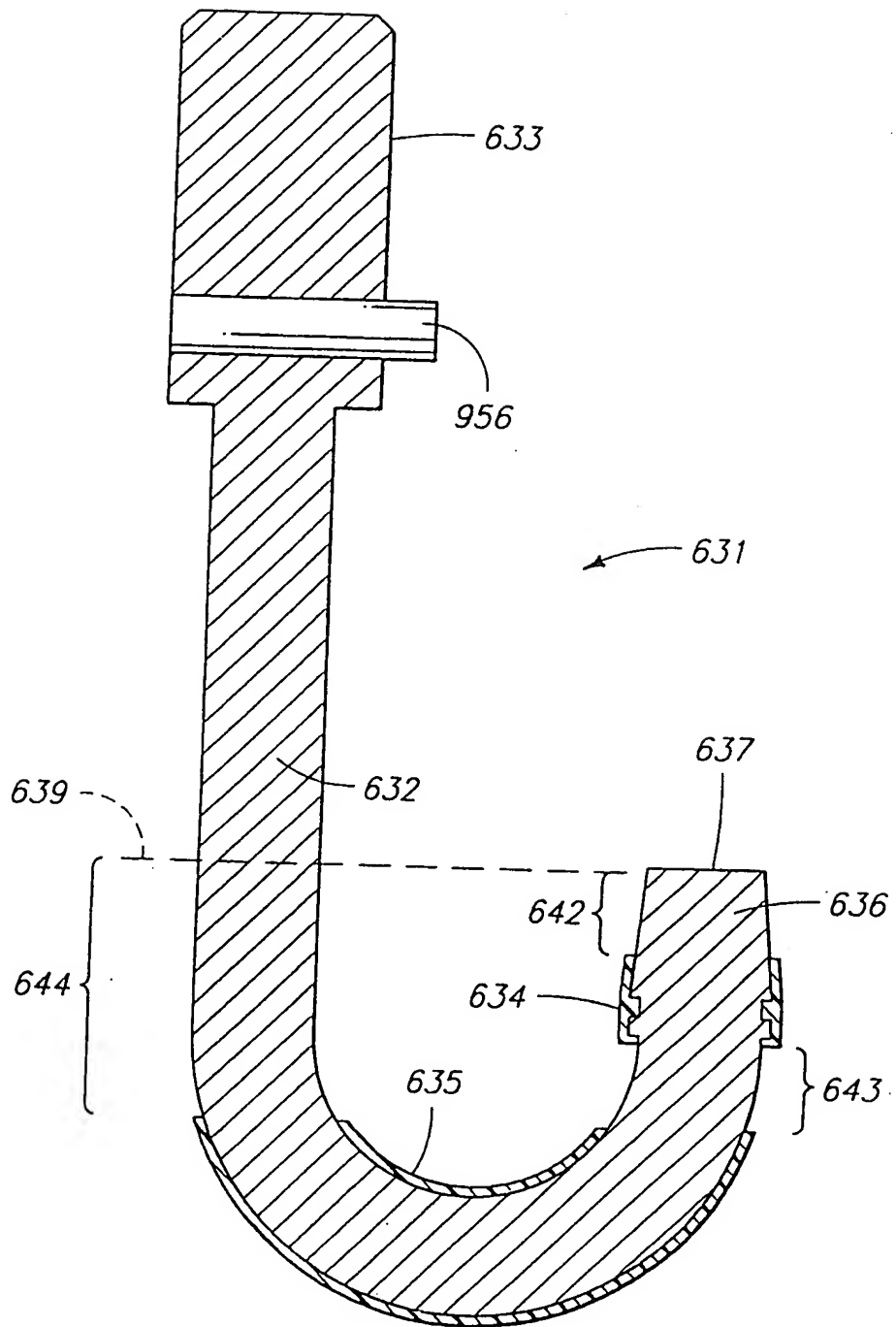


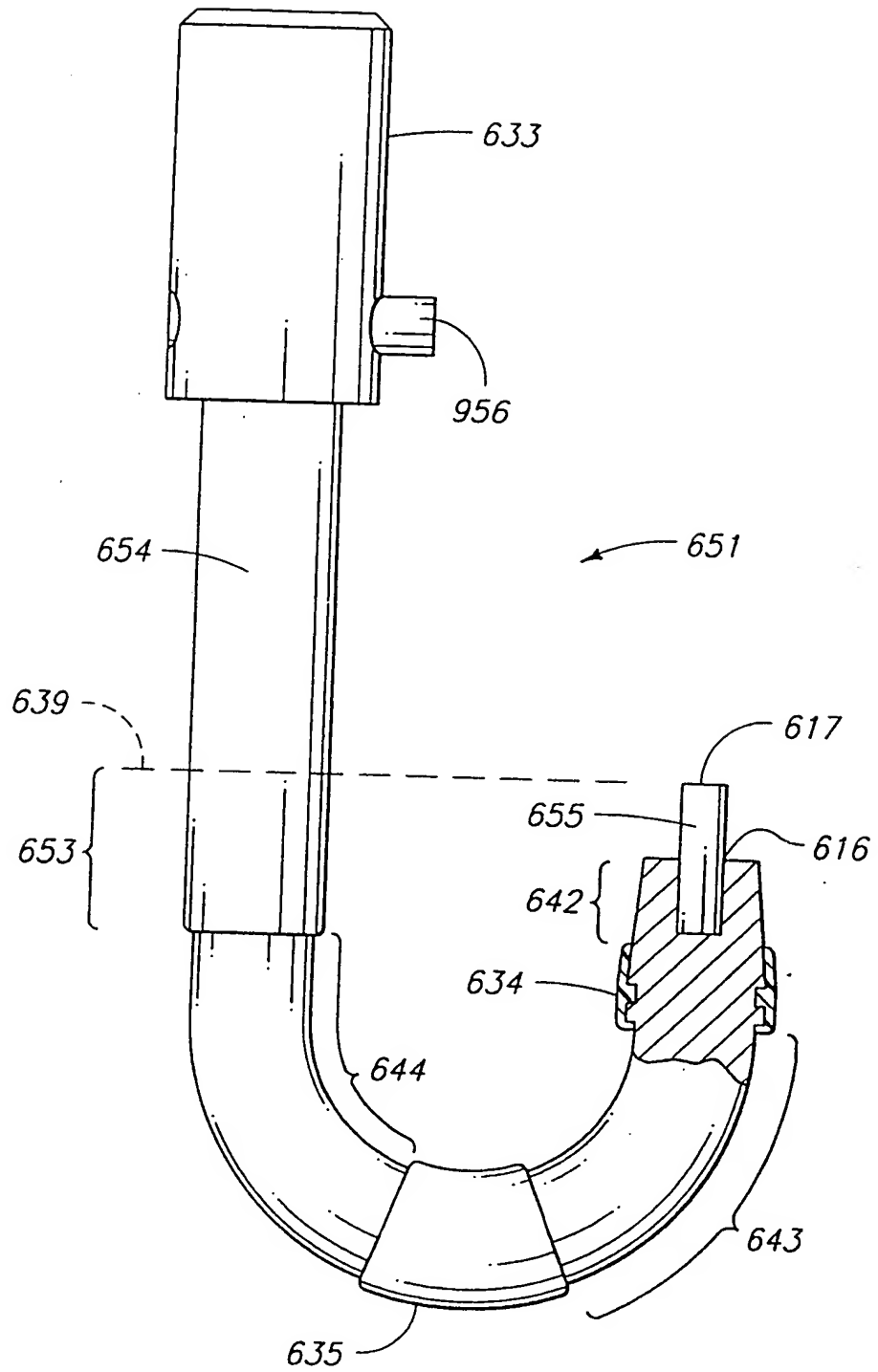
FIG. 30



29/38







32/38

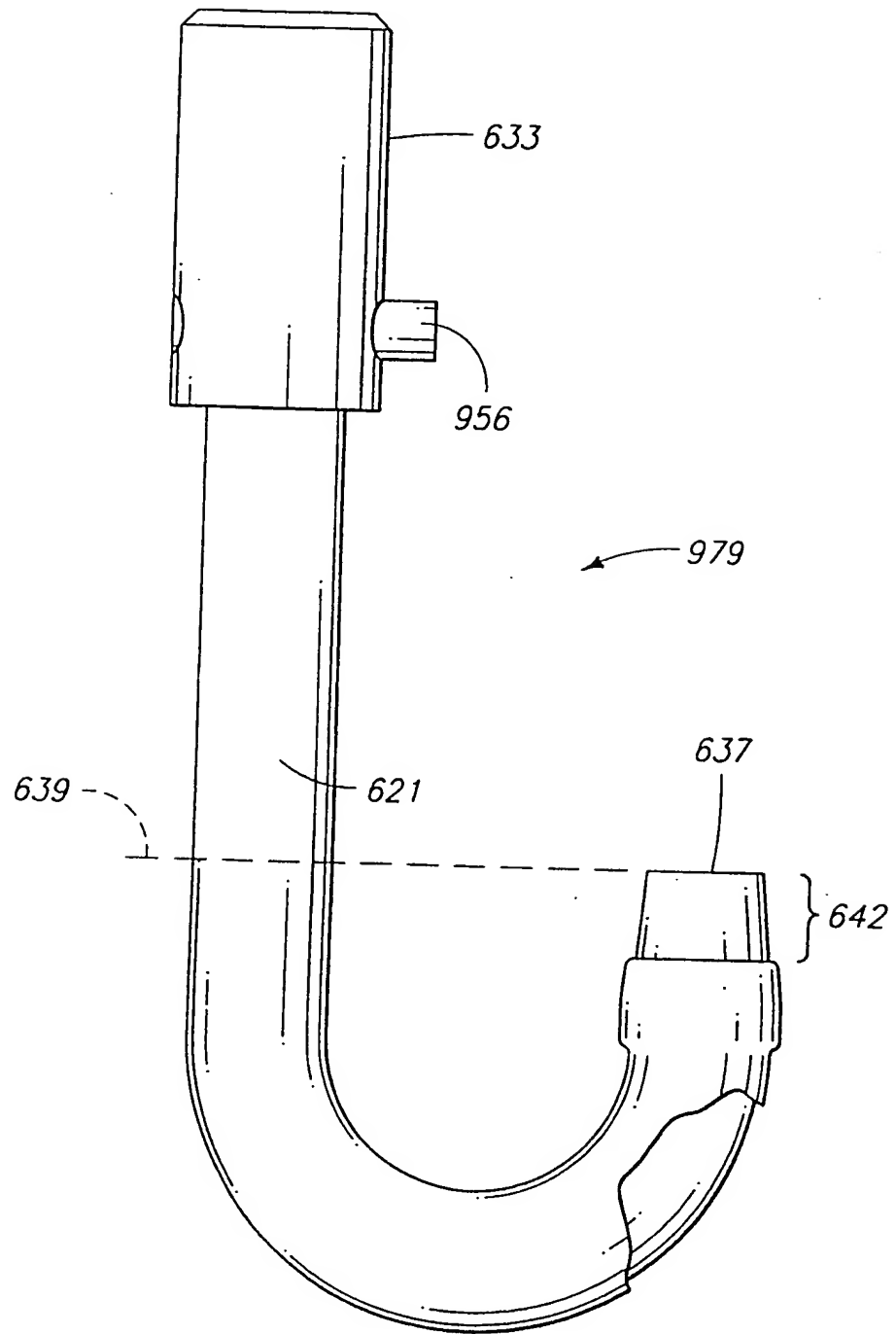
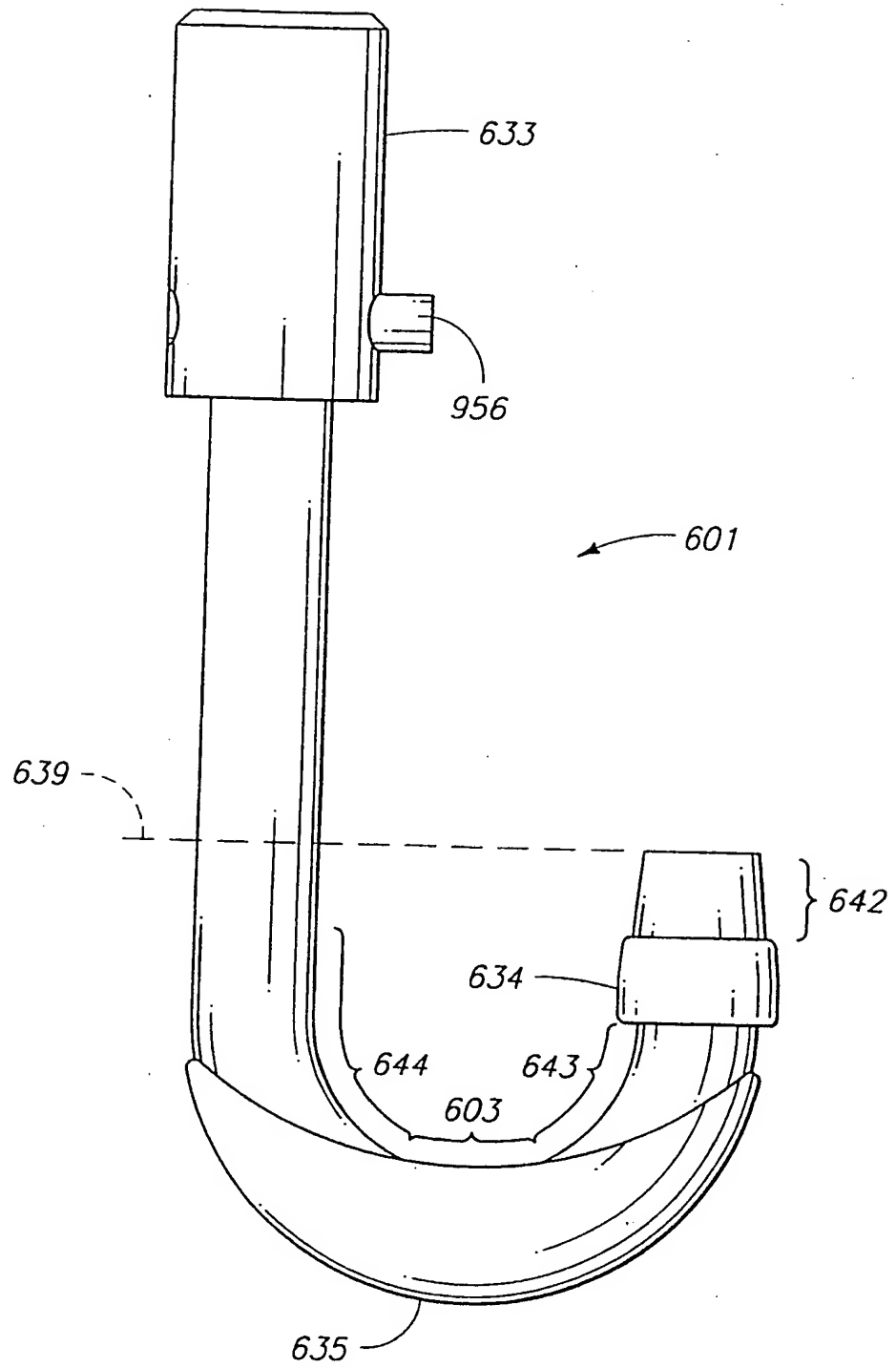


FIG. 32





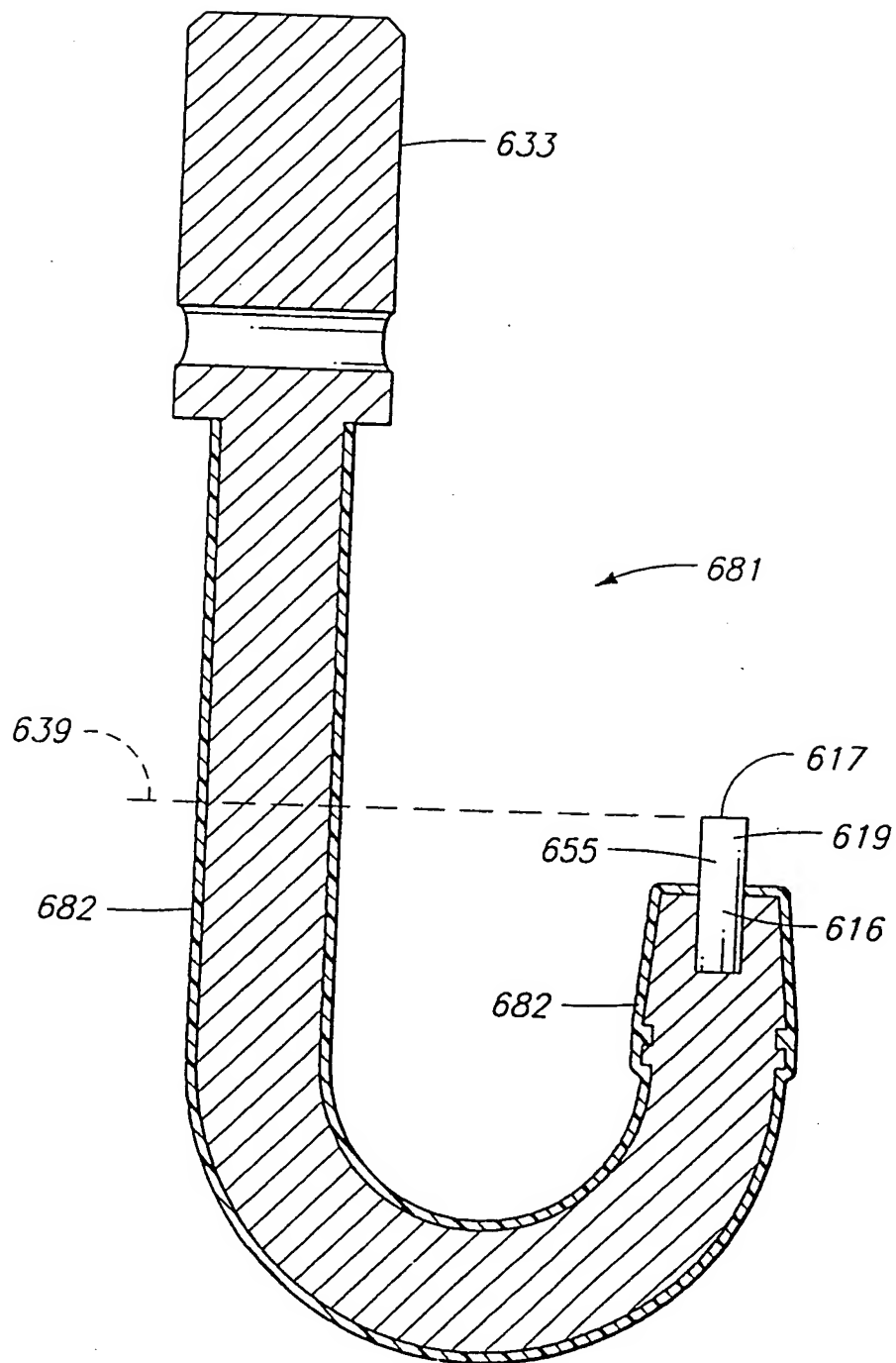
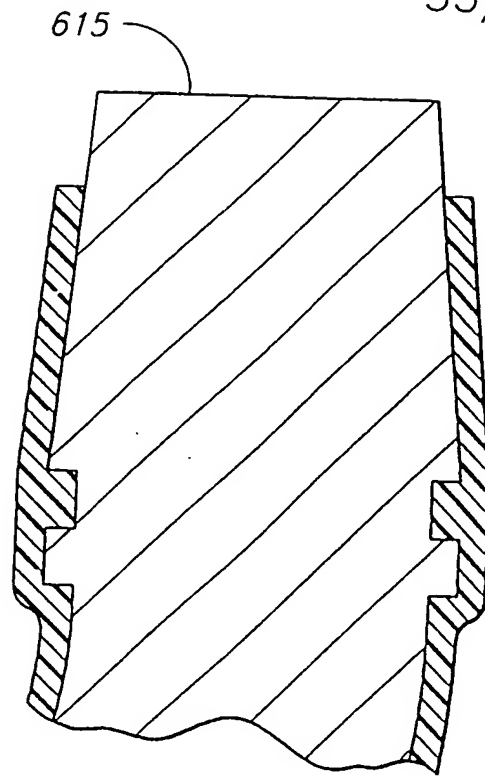


FIG. 36

35/38



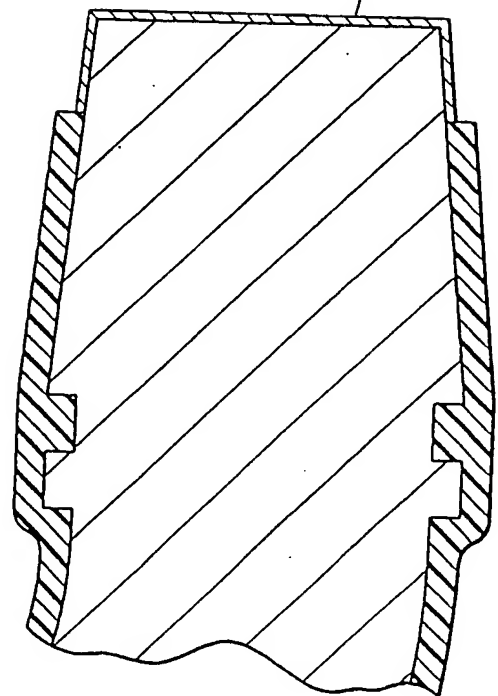
614

FIG. 37

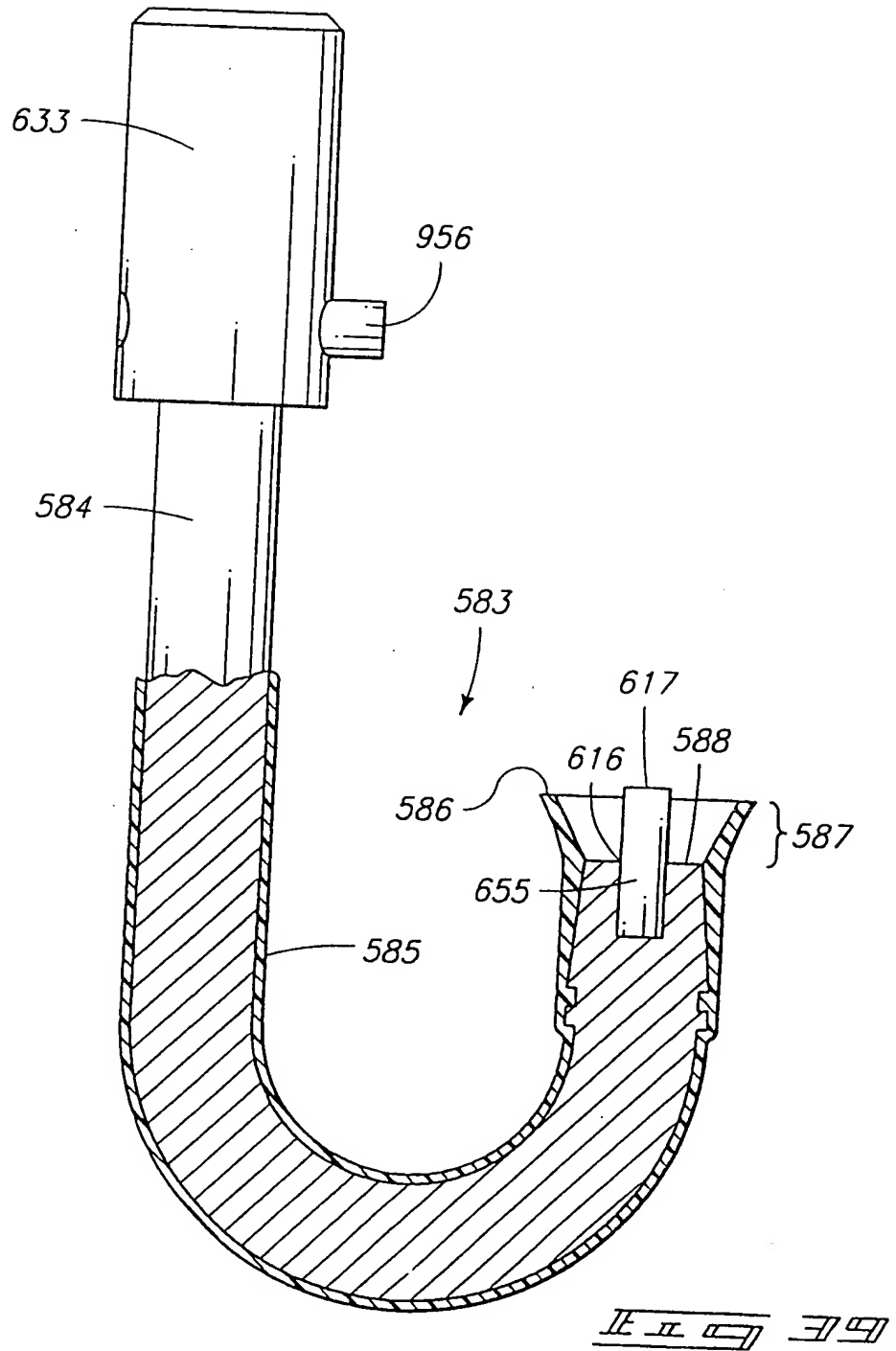
618

614

FIG. 38



36/38



37/38

